

БЕЗЫЗЛУЧАТЕЛЬНЫЙ РЕЗОНАНСНЫЙ ПЕРЕНОС ЭНЕРГИИ МЕЖДУ ПОЛУПРОВОДНИКОВЫМИ КВАНТОВЫМИ ТОЧКАМИ

Д. М. Самосват, О. П. Чикалова-Лузина, Г. Г. Зегра***

*Физико-технический институт им. А. Ф. Иоффе Российской академии наук
194021, Санкт-Петербург, Россия*

Поступила в редакцию 27 мая 2014 г.

Выполнен микроскопический анализ механизмов безызлучательного переноса энергии в системе двух полупроводниковых квантовых точек, обусловленного кулоновским взаимодействием электронов донора и акцептора. Скорость переноса энергии вычислена для квантовых точек на основе соединений A_3B_5 в рамках модели Кейна. Проанализированы условия, при которых возможен перенос энергии от донора к акцептору. Установлено, что подмешивание p -составляющей валентной зоны к s -составляющим зоны проводимости приводит к появлению дополнительных вкладов в матричный элемент переноса энергии. Показано, что дополнительные вклады играют существенную роль в процессе переноса при расстояниях между квантовыми точками как близких к контактным, так и значительно больших. Выполнен анализ влияния обменного взаимодействия на механизм переноса энергии и показано, что для количественного описания процесса переноса вклад обменного взаимодействия должен приниматься во внимание при расстояниях между квантовыми точками близких к контактным.

DOI: 10.7868/S0044451015070081

1. ВВЕДЕНИЕ

Перенос энергии электронного возбуждения между квантовыми системами представляет одну из важных фундаментальных задач современной физики [1]. Суть явления состоит в том, что энергия электронного возбуждения донора энергии (атома, молекулы, полупроводниковой квантовой точки или квантовой ямы) передается акцептору энергии. Разделяют следующие механизмы переноса энергии: хорошо известный излучательный механизм — когда донор излучает фотон, а акцептор его затем поглощает (см., например, [2]); безызлучательный механизм — когда энергия передается от донора к акцептору одноступенчатым механизмом, в отличие от излучательного переноса энергии [3, 4]; механизм переноса электрона — когда возбужденный электрон донора энергии передается акцептору [5]. Два последних механизма осуществляют тушение люминесценции донора, однако первый из них приводит

к сенсибилизированной флюoresценции акцептора, а второй — к образованию положительно заряженного донора и отрицательно заряженного акцептора (в случае молекул — пары ионов). Эти механизмы фундаментально различны: безызлучательный перенос энергии происходит благодаря кулоновскому взаимодействию электронов донора и акцептора энергии, перенос электрона определяется только перекрытием волновых функций соответствующих состояний донора и акцептора. Явление безызлучательного переноса энергии впервые наблюдалось в 1923 г. в экспериментах по сенсибилизированной флюoresценции атомов в газовой фазе [6]. Позднее подобные эксперименты были выполнены для паров молекул [7], для жидких растворов красителей [8–10], для твердых растворов органических молекул [11]. Параллельно множество исследований выявило роль безызлучательного переноса энергии в биологических системах (в частности, в фотосинтезе) [12] (см. также ссылки в [13]). Впоследствии метод, основанный на переносе энергии между молекулами органических красителей, нашел широкое применение в биологических и медицинских экспериментах (см., например, [14, 15]).

*E-mail: samosvat@yandex.ru

**E-mail: zegra@theory.ioffe.ru

В системах, включающих полупроводниковые квантовые точки (КТ), безызлучательный перенос энергии впервые наблюдался в 1996 году [16] и в последующие годы стал интенсивно исследоваться как экспериментально [17], так и теоретически [18–21]. Интерес вызван прежде всего тем, что использование квантовых точек расширило возможности био- и медицинских экспериментов, как *in vivo*, так и *in vitro*, благодаря их уникальным оптическим свойствам (узкие спектры люминесценции, возможность изменять спектральные характеристики за счет изменения размера квантовой точки ввиду квантово-размерного эффекта) [22]. Наряду с оптическими характеристиками, фотостабильность и химическая стабильность выгодно отличают квантовые точки от органических красителей, традиционно применяемых в этой области исследований. В литературе обсуждается возможность технических приложений механизма безызлучательного переноса энергии между квантовыми точками для создания быстродействующих квантовых компьютеров [23, 24], полупроводниковых лазеров на квантовых точках [25, 26], солнечных элементов [27], что также стимулирует изучение этого физического процесса.

Первое квантомеханическое описание безызлучательного резонансного переноса энергии было разработано Ферстером для молекулярных систем [3]. Он предположил, что перенос энергии происходит преимущественно в результате диполь-дипольных взаимодействий молекул. Затем теория была расширена Декстером путем включения диполь-квадрупольного и обменного взаимодействий [4]. Выполненные впоследствии теоретические рассмотрения и экспериментальные исследования позволяют считать явление переноса энергии между молекулами в настоящее время изученным достаточно. В последнее время теория Ферстера, однако, применяется и для интерпретации данных экспериментов по переносу энергии между квантовыми точками, что представляется не вполне обоснованным [22].

Теория безызлучательного резонансного переноса энергии в системах, включающих полупроводниковые квантовые структуры, разработана пока недостаточно и является предметом современных исследований. В работе [28] впервые был рассмотрен безызлучательный резонансный перенос энергии в гибриднойnanoструктуре, состоящей из полупроводниковой квантовой ямы и слоя органического акцептора. Анализ, выполненный с использованием приближения эффективной массы для описания экситона Ванье–Мотта в полупроводниковой квантовой яме и макроскопического электродинами-

ческого описания органической среды, показал высокую эффективность безызлучательного переноса энергии экситона к органической молекуле с возможным последующим излучением света. Авторы предсказали возможность использования таких гибридных структур для оптической накачки органических источников излучения. Затем с использованием того же теоретического подхода был выполнен анализ механизма безызлучательного резонансного переноса энергии от полупроводниковой квантовой точки к органической матрице [29]. Было показано, что в рамках этого механизма возможна передача значительной части энергии от квантовой точки к окружающим ее оптически активным органическим молекулам. Авторы данной работы отметили, что при электрической накачке квантовой точки этот эффект проявляется ярче, чем при оптической накачке. В работах [30–33] теория переноса энергии в гибридных nanoструктурах получила дальнейшее развитие.

Механизм безызлучательного переноса энергии между квантовыми точками исследовался с использованием различных теоретических подходов: метода сильной связи [18], метода полуэмпирического псевдопотенциала [19], простой модели эффективной массы [20, 21]. В работах [18, 19] показано, что диполь-дипольная аппроксимация кулоновского взаимодействия электронов квантовой точки-донора и квантовой точки-акцептора дает адекватное описание безызлучательного переноса энергии в случае прямозонных полупроводников, а зависимость скорости переноса W от расстояния между квантовыми точками d описывается простым законом $W \propto 1/d^6$. Вклады более высоких мультиполей пренебрежимо малы вплоть до контактных расстояний между донором и акцептором. Для непрямозонных полупроводников мультипольные члены более существенны, однако диполь-дипольные вклады остаются доминирующими. Авторами работы [20] было получено, что диполь-дипольный вклад в скорость переноса энергии, как правило, больше диполь-квадрупольного вклада, однако для количественного описания диполь-квадрупольный вклад, зависящий от расстояния между квантовыми точками как $1/d^8$, должен приниматься во внимание для малых расстояний, сравнимых с размерами квантовых точек. В работе [21] было показано, что диполь-дипольное приближение справедливо для описания переноса энергии при дипольно-разрешенных переходах в доноре и акцепторе для всех расстояний между квантовыми точками вплоть до расстояний близких к контактным. Также было показано, что скорость пере-

носа энергии от донора к акцептору, соответствующая дипольно-запрещенным переходам в акцепторе, также играет существенную роль и при расстояниях близких к контактным вклад его может достигать 25 % в сравнении с вкладом переноса при дипольно-разрешенном переходе. Авторы работы [21] при исследовании переноса энергии между квантовыми точками пренебрели обменным взаимодействием, считая его несущественным. Таким образом, имеются определенное соответствие результатов этих работ [18–21] для больших расстояний между донором и акцептором и значительное расхождение при малых расстояниях.

В настоящей работе предложена микроскопическая теория механизма безызлучательного резонансного переноса энергии между сферическими квантовыми точками на основе полупроводников A_3B_5 . Использованные ранее модели не позволяют учитывать реальный спектр полупроводников A_3B_5 и ряд новых эффектов, им обусловленных. Мы используем модель Кейна как наиболее адекватно описывающую реальный спектр полупроводников A_3B_5 [34, 35]. При учете подмешивания состояний валентной зоны к состояниям зоны проводимости в полном матричном элементе кулоновского взаимодействия появляются дополнительные слагаемые. Мы в рамках модели Кейна получили выражения для матричного элемента переноса энергии, обусловленного прямым кулоновским взаимодействием электронов донора и акцептора, и также их обменным взаимодействием. Определены вклады в матричный элемент кулоновского взаимодействия за счет подмешивания p -состояний валентной зоны к s -состояниям зоны проводимости. Найдены правила отбора, определяющие дипольно-разрешенные и дипольно-запрещенные переходы в доноре и акцепторе, при которых матричный элемент переноса энергии отличен от нуля. Показано, что учет реальной зонной структуры полупроводников приводит к расширению класса дипольно-разрешенных и дипольно-запрещенных переходов, активных в переносе энергии. Для всех вкладов найдена зависимость скорости переноса энергии от расстояния между донором и акцептором. Показано, что при расстояниях близких к контактным становится важным вклад обменного взаимодействия электронов донора и акцептора.

В работе рассматривается система двух сферических квантовых точек, расположенных на конечном расстоянии d друга от друга (рис. 1). Предполагается, что квантовые точки изготовлены из одного и того же материала и помещены в матрицу

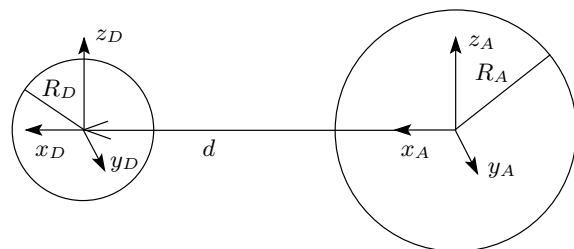


Рис. 1. Схема двух квантовых точек: донора с радиусом R_D и акцептора с радиусом R_A

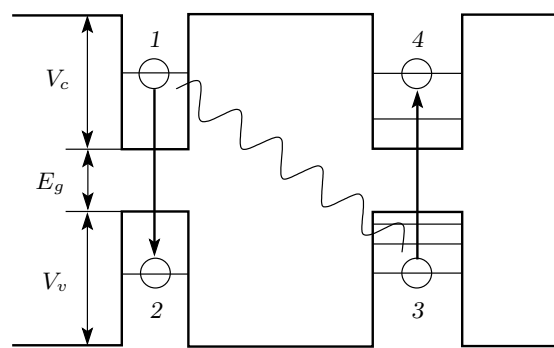


Рис. 2. Схематическое изображение процесса безызлучательного резонансного переноса энергии. Показано начальное состояние системы (электроны 1 и 3) и конечное (электроны 2 и 4)

из другого материала, создающего потенциальные барьеры конечной высоты для электронов (V_{cD} и V_{cA}) и для дырок (V_{vD} и V_{vA}). Индексы D и A соответствуют квантовой точке-донору и квантовой точке-акцептору энергии. В процессе безызлучательного переноса энергии возбужденный электрон донора (1 на рис. 2) рекомбинирует с дыркой (2 на рис. 2), при этом энергия возбуждения передается электрону валентной зоны акцептора и в акцепторе возникает электрон-дырочная пара (3 и 4 на рис. 2). Электрон-фононное взаимодействие в этой работе не включено в рассмотрение, поскольку рассматривается только резонансный процесс. Также заметим, что процесс безызлучательного переноса энергии аналогичен рассмотренному нами ранее процессу оже-рекомбинации в квантовой точке [36]. Однако в отличие от оже-рекомбинации, когда взаимодействующие электроны локализованы в пределах одной квантовой точки, перенос энергии происходит в результате взаимодействия электронов, локализованных в разных квантовых точках — доноре и акцепторе энергии.

2. ВОЛНОВЫЕ ФУНКЦИИ НОСИТЕЛЕЙ ЗАРЯДА

Мы рассматриваем резонансный перенос энергии между сферическими квантовыми точками на основе полупроводников A_3B_5 . Зонная структура таких полупроводников хорошо описывается в рамках модели Кейна [35]. Волновые функции носителей зарядов могут быть записаны как

$$\psi = \psi_s |s\rangle + \psi |\mathbf{p}\rangle, \quad (1)$$

где $|s\rangle$ и $|\mathbf{p}\rangle$ — блоховские функции s - и \mathbf{p} -типа. Функции s -типа описывают состояние в зоне проводимости, \mathbf{p} -типа описывают состояние валентной зоны; ψ_s и ψ — огибающие функции. Уравнения Кейна для огибающих функций имеют вид [36]

$$\begin{aligned} (E_g + \delta - E)\psi_s - i\hbar\gamma\nabla \cdot \psi &= 0, \\ -E\psi - i\hbar\gamma\nabla\psi_s + \frac{\hbar^2}{2m}(\gamma_1 + 4\gamma_2)\nabla(\nabla \cdot \psi) - \\ -\frac{\hbar^2}{2m}(\gamma_1 - 2\gamma_2)\nabla \times (\nabla \times \psi) + i\delta\sigma \times \psi &= 0, \end{aligned} \quad (2)$$

где σ — матрицы Паули, $\delta = \Delta_{so}/3$ (Δ_{so} — константа спин-орбитального взаимодействия), γ — кейновский матричный элемент, имеющий размерность скорости и связанный с матричным элементом оператора импульса между состояниями зоны проводимости и валентной зоны [37], γ_1, γ_2 — обобщенные параметры Латтинжера, m — масса свободного электрона. Ниже, для простоты, мы рассматриваем случай, когда константа спин-орбитального взаимодействия $\Delta_{so} = 0$. Позднее обсудим влияние спин-орбитального взаимодействия на процесс переноса энергии. Решения уравнений Кейна в сферической системе координат были получены в работе [36]. Для огибающих функций электронов внутри КТ имеем

$$\begin{aligned} \psi_s &= A j_j(k_c r) Y_{jm}(\theta, \phi), \\ \psi &= -\frac{i\hbar\gamma}{E_c + E_g} A k_c \left(\sqrt{\frac{j+1}{2j+1}} j_{j+1}(k_c r) \times \right. \\ &\quad \left. \times \mathbf{Y}_{jm}^{j+1}(\theta, \phi) + \sqrt{\frac{j}{2j+1}} j_{j-1}(k_c r) \mathbf{Y}_{jm}^{j-1}(\theta, \phi) \right). \end{aligned} \quad (3)$$

Здесь $Y_{jm}(\theta, \phi)$ — сферические функции, $\mathbf{Y}_{jm}^{j+1}(\theta, \phi)$ и $\mathbf{Y}_{jm}^{j-1}(\theta, \phi)$ — векторные сферические гармоники, j и m — значения полного углового момента и его проекции на ось z , соответственно, $j_j(k_c r)$ — сферическая функция Бесселя, E_g — ширина запрещенной зоны, E_c — энергия электронов, отсчитываемая от дна зоны проводимости, k — волновое число для электронов, A — нормировочная константа.

В работе [36] также были получены волновые функции электронов под барьером. В трехзонной модели Кейна состояния тяжелых дырок двукратно вырождены, так как спин-отщепленная зона сливается с зоной тяжелых дырок. Отвечающие тяжелым дыркам волновые функции имеют различные поляризации, которые определяются поляризациями шаровых векторов и не имеют компоненты ψ_s :

$$\begin{aligned} \psi_{h1} &= A_1 j_j(k_h r) \mathbf{Y}_{jm}^j(\theta, \phi), \\ \psi_{h2} &= A_2 \left(\sqrt{\frac{j}{2j+1}} j_{j+1}(k_h r) \mathbf{Y}_{jm}^{j+1}(\theta, \phi) - \right. \\ &\quad \left. - \sqrt{\frac{j+1}{2j+1}} j_{j-1}(k_h r) \mathbf{Y}_{jm}^{j-1}(\theta, \phi) \right), \end{aligned} \quad (4)$$

где k_h — волновое число для дырки, A_1, A_2 — нормировочные константы. Волновые функции тяжелых дырок под барьером также были получены в работе [36].

Главное квантовое число n_c и n_h в модели Кейна вводится как n -й корень дисперсионного соотношения соответственно для электронов и дырок. Выпишем эти дисперсионные соотношения, которые были получены в работе [36]. Для электронов это дисперсионное соотношение имеет вид

$$\begin{aligned} j_j(kR) \left[\kappa \tilde{Z} \left(\frac{jk_j(\kappa R)}{\kappa R} - k_{j+1}(\kappa R) \right) \right] &= \\ = k_j(\kappa R) \left[kZ \left(\frac{jj_j(kR)}{kR} - j_{j+1}(kR) \right) \right], \end{aligned} \quad (5)$$

где $Z = 1/(\mathcal{E} + E_g)$ — слева от барьера и $\tilde{Z} = 1/(\mathcal{E} + E_g + V_v)$ — справа от барьера. Волновое число k имеет вид

$$k^2 = \frac{\mathcal{E}(\mathcal{E} + E_g)}{\hbar^2\gamma^2}. \quad (6)$$

Выражение для κ имеет вид

$$\kappa^2 = \frac{(V_c - \mathcal{E})(\mathcal{E} + E_g + V_v)}{\hbar^2\gamma^2}. \quad (7)$$

Аналогично, для дырок дисперсионное соотношение имеет вид

$$\begin{aligned} j_j(k_h R) \frac{\kappa_h}{k_h} \left[j \left(\frac{(j+1)k_{j+1}(\kappa_h R)}{\kappa_h R} - k_{j+2}(\kappa_h R) \right) + \right. \\ \left. + (j+1) \left(\frac{(j-1)k_{j-1}(\kappa_h R)}{\kappa_h R} - k_j(\kappa_h R) \right) \right] = \\ = k_j(\kappa_h R) \frac{\kappa_h}{k_h} \left[j \left(\frac{(j+1)j_{j+1}(k_h R)}{k_h R} - j_{j+2}(k_h R) \right) - \right. \\ \left. - (j+1) \left(\frac{(j-1)j_{j-1}(k_h R)}{k_h R} - j_j(k_h R) \right) \right]. \end{aligned} \quad (8)$$

Волновое число для дырок равно

$$k_h^2 = -2m_h E_h / \hbar^2. \quad (9)$$

Уравнения (5) и (8) совместно с законами дисперсии для электронов и дырок [36] определяют уровни размernого квантования электронов и дырок в КТ.

3. МАТРИЧНЫЙ ЭЛЕМЕНТ КУЛОНОВСКОГО ВЗАИМОДЕЙСТВИЯ

Для вычисления скорости безызлучательного переноса энергии между двумя квантовыми точками необходимо найти матричный элемент кулоновского взаимодействия электронов донора и акцептора для перехода системы из начального состояния в конечное (см. рис. 2). В начальном состоянии в доноре имеется электрон-дырочная пара, а электрон акцептора находится в валентной зоне, в конечном состоянии системы электрон-дырочная пара в акцепторе, а электрон донора — в валентной зоне. Таким образом, матричный элемент кулоновского взаимодействия имеет вид

$$M_{if} = \sum_{\sigma_1, \sigma_2} \int d^3 r_1 d^3 r_2 \psi_f^*(\xi_1, \xi_2) \times \\ \times \frac{e^2}{\varepsilon |\mathbf{d} + \mathbf{r}_1 - \mathbf{r}_2|} \psi_i(\xi_1, \xi_2), \quad (10)$$

где ε — статическая диэлектрическая проницаемость, $\xi_i = (\mathbf{r}_i, \sigma_i)$. Здесь σ — спиновые переменные; \mathbf{r}_1 и \mathbf{r}_2 — координаты носителей заряда соответственно в доноре и акцепторе. Начальным и конечным состояниям системы отвечают антисимметризованные произведения:

$$\begin{aligned} \psi_i(\xi_1, \xi_2) &= \frac{1}{\sqrt{2}} (\psi_{cD}(\mathbf{r}_1) \chi_{cD}(\sigma_1) \psi_{hA}(\mathbf{r}_2) \times \\ &\times \chi_{hA}(\sigma_2) - \psi_{cD}(\mathbf{r}_2) \chi_{cD}(\sigma_2) \psi_{hA}(\mathbf{r}_1) \chi_{hA}(\sigma_1)), \quad (11) \\ \psi_f(\xi_1, \xi_2) &= \frac{1}{\sqrt{2}} (\psi_{hD}(\mathbf{r}_1) \chi_{hD}(\sigma_1) \psi_{cA}(\mathbf{r}_2) \times \\ &\times \chi_{cA}(\sigma_2) - \psi_{hD}(\mathbf{r}_2) \chi_{hD}(\sigma_2) \psi_{cA}(\mathbf{r}_1) \chi_{cA}(\sigma_1)), \end{aligned}$$

где $\chi(\sigma)$ — спиновые волновые функции, $\psi_{cD}(\mathbf{r}_1)$ — координатные волновые функции электрона и $\psi_{hD}(\mathbf{r}_1)$ — координатные волновые функции дырок в доноре (аналогично для акцептора). В результате матричный элемент кулоновского взаимодействия разделяется на два вклада: прямой кулоновский матричный элемент M_{Coul} и обменный матричный элемент M_{ex} :

$$M_{if} = M_{Coul} - M_{ex}, \quad (12)$$

где прямой кулоновский матричный элемент имеет вид

$$\begin{aligned} M_{Coul} = & \int d^3 r_1 d^3 r_2 \psi_{cD}(\mathbf{r}_1) \psi_{hD}^*(\mathbf{r}_1) \frac{e^2}{\varepsilon |\mathbf{d} + \mathbf{r}_1 - \mathbf{r}_2|} \times \\ & \times \psi_{cA}^*(\mathbf{r}_2) \psi_{hA}(\mathbf{r}_2) \sum_{\sigma_1, \sigma_2} \chi_{hD}^*(\sigma_2) \chi_{cA}^*(\sigma_1) \times \\ & \times \chi_{cD}(\sigma_1) \chi_{hA}(\sigma_2), \quad (13) \end{aligned}$$

обменный матричный элемент равен

$$\begin{aligned} M_{ex} = & \int d^3 r_1 d^3 r_2 \psi_{cD}(\mathbf{r}_1) \psi_{cA}^*(\mathbf{r}_1) \frac{e^2}{\varepsilon |\mathbf{d} + \mathbf{r}_1 - \mathbf{r}_2|} \times \\ & \times \psi_{hD}^*(\mathbf{r}_2) \psi_{hA}(\mathbf{r}_2) \sum_{\sigma_2, \sigma_1} \chi_{hD}^*(\sigma_2) \chi_{cA}^*(\sigma_1) \times \\ & \times \chi_{cD}(\sigma_1) \chi_{hA}(\sigma_2). \quad (14) \end{aligned}$$

Из выражения (13) следует, что прямой кулоновский матричный элемент не равен нулю, если $\chi_{cD} = \chi_{hD}$ и $\chi_{cA} = \chi_{hA}$, т. е. если переходы как в доноре, так и в акцепторе происходят с сохранением спина. Для обменного матричного элемента (14) спиновые правила отбора другие: он не равен нулю, если $\chi_{cD} = \chi_{cA}$ и $\chi_{hD} = \chi_{hA}$. Однако при этом не является необходимым, чтобы $\chi_c(D, A) = \chi_h(D, A)$, так что спины для донора и акцептора могут изменяться одновременно при сохранении полного спина системы.

3.1. Матричный элемент прямого кулоновского взаимодействия

Для вычисления матричного элемента прямого кулоновского взаимодействия удобно использовать фурье-представление для потенциальной энергии:

$$\begin{aligned} \frac{e^2}{\varepsilon |\mathbf{d} + \mathbf{r}_1 - \mathbf{r}_2|} = & \\ = & \frac{1}{\varepsilon 2\pi^2} \int d^3 q \frac{1}{q^2} \exp(i\mathbf{q} \cdot (\mathbf{d} + \mathbf{r}_1 - \mathbf{r}_2)). \quad (15) \end{aligned}$$

Тогда матричный элемент (13) принимает вид

$$M_{Coul} = \frac{1}{\varepsilon 2\pi^2} \int d^3 q \exp(i\mathbf{q} \cdot \mathbf{d}) \frac{1}{q^2} I_D(q) I_A^*(q), \quad (16)$$

где

$$\begin{aligned} I_D(\mathbf{q}) &= \int d^3 r_1 \exp(i\mathbf{q} \cdot \mathbf{r}_1) \psi_{cD}(\mathbf{r}_1) \psi_{hD}^*(\mathbf{r}_1), \\ I_A(\mathbf{q}) &= \int d^3 r_2 \exp(i\mathbf{q} \cdot \mathbf{r}_2) \psi_{cA}(\mathbf{r}_2) \psi_{hA}^*(\mathbf{r}_2). \end{aligned} \quad (17)$$

Выражения I_D и I_A играют роль интегралов перекрытия электронных и дырочных состояний соответственно донора и акцептора. Для электронов и

тяжелых дырок в доноре волновые функции, согласно (1), (3) и (4) могут быть записаны как

$$\begin{aligned}\psi_{cD}(\mathbf{r}_1) &= \psi_{cSD}(\mathbf{r}_1)|s\rangle + \psi_{cD}(\mathbf{r}_1)|\mathbf{p}\rangle, \\ \psi_{hD}(\mathbf{r}_1) &= \psi_{hD}(\mathbf{r}_1)|\mathbf{p}\rangle.\end{aligned}\quad (18)$$

Поскольку в нашей модели ($\Delta_{so} = 0$) существуют две тяжелые дырки разной поляризации, под ψ_h следует понимать соответствующие волновые функции тяжелых дырок ψ_{h1} и ψ_{h2} . При учете (18) интеграл перекрытия $I_D(\mathbf{q})$ принимает вид

$$\begin{aligned}I_D(\mathbf{q}) &= \int d^3\mathbf{r}_1 \langle \mathbf{p} | \psi_{hD}^*(\mathbf{r}_1) \exp(i\mathbf{q} \cdot \mathbf{r}_1) \times \\ &\times (\psi_{cSD}(\mathbf{r}_1)|s\rangle + \psi_{cD}(\mathbf{r}_1)|\mathbf{p}\rangle) = I_{D1} + I_{D2},\end{aligned}\quad (19)$$

где

$$\begin{aligned}I_{D1}(\mathbf{q}) &= \int d^3\mathbf{r}_1 \langle \mathbf{p} | \psi_{hD}^*(\mathbf{r}_1) \exp(i\mathbf{q} \cdot \mathbf{r}_1) \times \\ &\times (\psi_{cSD}(\mathbf{r}_1)|s\rangle)\end{aligned}\quad (20)$$

и

$$\begin{aligned}I_{D2}(\mathbf{q}) &= \int d^3\mathbf{r}_1 \langle \mathbf{p} | \psi_{hD}^*(\mathbf{r}_1) \exp(i\mathbf{q} \cdot \mathbf{r}_1) \times \\ &\times (\psi_{cD}(\mathbf{r}_1)|\mathbf{p}\rangle).\end{aligned}\quad (21)$$

Важно отметить, что I_{D1} — интеграл перекрытия без подмешивания состояний, а I_{D2} — интеграл перекрытия, учитывающий подмешивания состояний валентной зоны к состояниям зоны проводимости. Аналогично может быть представлен интеграл перекрытия для акцептора I_A :

$$\begin{aligned}I_A(\mathbf{q}) &= \int d^3\mathbf{r}_2 \langle \mathbf{p} | \psi_{hA}^*(\mathbf{r}_2) \exp(i\mathbf{q} \cdot \mathbf{r}_2) \times \\ &\times (\psi_{cSA}(\mathbf{r}_2)|s\rangle + \psi_{cA}(\mathbf{r}_2)|\mathbf{p}\rangle) = I_{A1} + I_{A2}.\end{aligned}\quad (22)$$

Тогда матричный элемент (16) может быть записан как

$$\begin{aligned}M_{Coul} &= \frac{4\pi e^2}{\varepsilon} \int \frac{d^3q}{q^2(2\pi)^3} (I_{D1}I_{A1}^* + I_{D2}I_{A1}^* + \\ &+ I_{D1}I_{A2}^* + I_{D2}I_{A2}^*) \exp(i\mathbf{q} \cdot \mathbf{d}).\end{aligned}\quad (23)$$

Первое слагаемое в выражении (23), пропорциональное произведению $I_{D1}I_{A1}$, представляет собой вклад в матричный элемент, соответствующий волновым функциям без учета подмешивания. При учете двух поляризаций тяжелых дырок эта часть матричного элемента (пропорциональная $I_{D1}I_{A1}$) разбивается на два вклада, $M_{Coul}^{(1)}$ и $M_{Coul}^{(2)}$. Последнее слагаемое в уравнении (23), пропорциональное $I_{D2}I_{A2}$,

представляет вклад подмешивания s - и p -состояний $M_{ad}^{(1)}$. Второе и третье слагаемые в формуле (23), $M_{ad}^{(2)} \propto I_{D2}I_{A1}$ и $M_{ad}^{(3)} \propto I_{D1}I_{A2}$, являются перекрестными членами.

Чтобы вычислить эти интегралы перекрытия, разделим интегрирование по быстроосциллирующей блоховской составляющей и интегрирование по медленноизменяющейся огибающей волновой функции кристалла. Введем обозначение $\mathbf{r}_1 = \mathbf{r}_{k1} + \mathbf{r}_{D1}$. Здесь \mathbf{r}_{k1} — радиус-вектор k -й элементарной ячейки, а \mathbf{r}_{D1} — радиус-вектор электрона внутри элементарной ячейки донора. Также введем объем одной элементарной ячейки V_0 . Считаем, что плавная огибающая часть волновой функции медленно меняется на масштабах одной элементарной ячейки кристалла. При этом искомые интегралы могут быть представлены как

$$\begin{aligned}I_{D1}(\mathbf{q}) &= V_0 \sum_k \psi_{hD}^*(\mathbf{r}_{k1}) \psi_{cSD}(\mathbf{r}_{k1}) \exp(i\mathbf{q} \cdot \mathbf{r}_{k1}) \times \\ &\times \frac{1}{V_0} \int d^3r_{\alpha 1} \langle \mathbf{p} | \exp(i\mathbf{q} \cdot \mathbf{r}_{\alpha 1}) | s \rangle\end{aligned}\quad (24)$$

и

$$\begin{aligned}I_{D2} &= V_0 \sum_k \psi_{hD}^*(\mathbf{r}_{k1}) \psi_{cD}(\mathbf{r}_{k1}) \exp(i\mathbf{q} \cdot \mathbf{r}_{k1}) \times \\ &\times \frac{1}{V_0} \int d^3r_{\alpha 1} \langle \mathbf{p} | \exp(i\mathbf{q} \cdot \mathbf{r}_{\alpha 1}) | \mathbf{p} \rangle.\end{aligned}\quad (25)$$

Аналогичные выражения получаются и для акцептора:

$$\begin{aligned}I_{A1}(\mathbf{q}) &= V_0 \sum_k \psi_{hA}^*(\mathbf{r}_{k1}) \psi_{cSA}(\mathbf{r}_{k1}) \exp(i\mathbf{q} \cdot \mathbf{r}_{k1}) \times \\ &\times \frac{1}{V_0} \int d^3r_{\alpha 1} \langle \mathbf{p} | \exp(i\mathbf{q} \cdot \mathbf{r}_{\alpha 1}) | s \rangle\end{aligned}\quad (26)$$

и

$$\begin{aligned}I_{A2} &= V_0 \sum_k \psi_{hA}^*(\mathbf{r}_{k1}) \psi_{cA}(\mathbf{r}_{k1}) \exp(i\mathbf{q} \cdot \mathbf{r}_{k1}) \times \\ &\times \frac{1}{V_0} \int d^3r_{\alpha 1} \langle \mathbf{p} | \exp(i\mathbf{q} \cdot \mathbf{r}_{\alpha 1}) | \mathbf{p} \rangle.\end{aligned}\quad (27)$$

Далее используем длинноволновое приближение $qa \ll 1$ (a — постоянная решетки полупроводника) и разложение $\exp(i\mathbf{q} \cdot \mathbf{r}_{\alpha 1})$ в ряд Тейлора, ограничиваясь первыми двумя членами $\exp(i\mathbf{q} \cdot \mathbf{r}_{\alpha 1}) \approx 1 + i(\mathbf{q} \cdot \mathbf{r}_{\alpha 1})$.

Рассмотрим выражение (24) для интеграла I_{D1} , не учитывающего подмешивания. Здесь ненулевой вклад в интеграл по объему элементарной ячейки

дает второй член разложения $i\mathbf{q} \cdot \mathbf{r}_{\alpha_1}$. Заменяя суммирование по элементарным ячейкам интегрированием по объему КТ, для I_{D1} получим

$$I_{D1} \approx \int d^3\mathbf{r}_1 \psi_{hD}^*(\mathbf{r}_1) \psi_{cSD}(\mathbf{r}_1) \times \\ \times \exp(i\mathbf{q} \cdot \mathbf{r}_1) \langle \mathbf{p} | i\mathbf{q} \cdot \mathbf{r}_{\alpha} | s \rangle. \quad (28)$$

Интеграл I_{D1} пропорционален матричному элементу оператора координаты $\langle \mathbf{p} | \mathbf{r}_{\alpha} | s \rangle$, который можно выразить через параметры полупроводника [37]:

$$\langle s | z | Z \rangle = P/E_g. \quad (29)$$

Здесь Z — компонента блоховской функции p -типа для валентной зоны, которая преобразуется как соответствующая координата, величина $P = \hbar\gamma$ — параметр Кейна. Следует отметить, что в нашем рассмотрении не учитывается взаимная ориентация dipольных моментов переходов в доноре и в акцепторе, поскольку координатные оси в доноре и акцепторе полагаются параллельными. (Проведение усреднения по углам приводит к множителю $2/3$ в матричном элементе.) В итоге интеграл I_{D1} принимает вид

$$I_{D1} = i \frac{P}{E_g} \int d^3r_1 (\mathbf{q} \cdot \psi_{hD}^*(\mathbf{r}_1)) \psi_{cSD}(\mathbf{r}_1) \times \\ \times \exp(i\mathbf{q} \cdot \mathbf{r}_1). \quad (30)$$

Рассмотрим выражение (25) для интеграла перекрытия $I_{D2}(q)$, связанного с подмешиванием p -состояний валентной зоны к s -состояниям зоны проводимости в (3). В разложении $\exp(i\mathbf{q} \cdot \mathbf{r}_{\alpha})$ в ряд Тейлора можно ограничиться первым членом. Тогда для I_{D2} можно получить следующее выражение:

$$I_{D2} = \int d^3r_1 \psi_{hD}^*(\mathbf{r}_1) \psi_{cD}(\mathbf{r}_1) \exp(i\mathbf{q} \cdot \mathbf{r}_1). \quad (31)$$

Здесь учтено, что $\langle \mathbf{p} | \mathbf{p} \rangle = 1$.

Переходим к вычислению интеграла I_{D1} , не включающего подмешивания. Для вычисления скалярного произведения в выражении (30) удобно воспользоваться его представлением в циклических координатах [38]:

$$\mathbf{q} \cdot \psi_{hD}^* = \sum_{\mu} q_{\mu} (\psi_{hD}^*)^{\mu}. \quad (32)$$

Ковариантные циклические координаты вектора \mathbf{q} могут быть представлены в виде

$$q_{\mu} = \sqrt{\frac{4\pi}{3}} q Y_{1\mu}(\Omega_q), \quad (33)$$

где $Y_{1\mu}(\Omega_q)$ — сферические функции. Для векторных сферических гармоник их ковариантные координаты представляются в виде [38]

$$(\mathbf{Y}_{jm}^l(\Omega))_{\mu} = C_{l,m+\mu,1,-\mu}^{jm} Y_{l,m+\mu}(\Omega)(-1)^{\mu}. \quad (34)$$

Здесь $C_{l,m+\mu,1,-\mu}^{jm}$ — коэффициенты Клебша–Гордана.

Поскольку состояния тяжелых дырок двукратно вырождены (см. формулы (4)), вклад в скорость переноса дают два матричных элемента, соответствующих волновым функциям различной поляризации ψ_{h1} и ψ_{h2} , и мы их обозначим как $M_{Coul}^{(1)}$ и $M_{Coul}^{(2)}$. Рассмотрим матричный элемент $M_{Coul}^{(1)}$, определяемый волновой функцией ψ_{h1} . Плоская волна в выражении (28) может быть представлена в виде разложения по сферическим функциям [38]:

$$\begin{aligned} & \exp(i\mathbf{q} \cdot \mathbf{r}_1) = \\ & = 4\pi \sum_{l_1=0}^{\infty} \sum_{m_1=-l_1}^{l_1} i^{l_1} j_{l_1}(qr_1) Y_{l_1 m_1}^*(\Omega_q) Y_{l_1 m_1}(\Omega_1). \end{aligned} \quad (35)$$

В результате получим интеграл по углу Ω_1 , от трех сферических функций, который легко вычисляется [38]:

$$\begin{aligned} & \int d\Omega_1 Y_{l_1 m_1}(\Omega_1) Y_{j_{cD} m_{cD}}(\Omega_1) Y_{j_{hD} m_{hD} + \mu_1}^*(\Omega_1) = \\ & = \sqrt{\frac{(2l_1 + 1)(2j_{cD} + 1)}{4\pi(2j_{hD} + 1)}} \times \\ & \times C_{l_1,0,j_{cD},0}^{j_{hD},0} C_{l_1,m_1,j_{cD},m_{cD}}^{j_{hD},m_{hD} + \mu_1}. \end{aligned} \quad (36)$$

Сферическая симметрия КТ позволяет устраниТЬ зависимость I_{D1} от угловых координат вектора \mathbf{q} [21]. В дальнейшем мы примем направление вектора $\mathbf{q} \parallel \mathbf{d}$ и в (32) остается только слагаемое с $\mu_1 = 0$ и $\mu_2 = 0$ (учитывается только направление вдоль оси z). Аналогичные преобразования могут быть выполнены для I_{A1} . Учитывая (32)–(36) и аналогичные выражения для акцептора, можно представить матричный элемент в следующем виде:

$$\begin{aligned}
M_{Coul}^{(1)} = & \frac{2}{\pi} \frac{e^2}{\varepsilon} \left(\frac{P}{E_g} \right)^2 A_{cD} A_{hD1} A_{cA} A_{hA1} \times \\
& \times \int_0^{R_D} r_1^2 dr_1 \int_0^{R_A} r_2^2 dr_2 \times \\
& \times \frac{1}{3} \sum_{l_1, l_2=0}^{\infty} (j_{j_{cD}}(k_{cD}r_1) j_{j_{hD}}(k_{hD}r_1)) \times \\
& \times (j_{j_{cA}}(k_{cA}r_2) j_{j_{hA}}(k_{hA}r_2)) \times \\
& \times \sqrt{\frac{2j_{cD}+1}{2j_{hD}+1}} \sqrt{\frac{2j_{cA}+1}{2j_{hA}+1}} C_{j_{hD}, m_{hD}, 1, 0}^{j_{hD}, m_{hA}, 1, 0} C_{j_{hA}, m_{hA}, 1, 0}^{j_{hA}, m_{hA}, 1, 0} \times \\
& \times (2l_1+1)(2l_2+1) i^{l_1-l_2} C_{l_1, 0, j_{cD}, 0}^{j_{hD}, 0} C_{l_1, 0, j_{cD}, m_{cD}}^{j_{hD}, m_{hD}} \times \\
& \times C_{l_2, 0, j_{cA}, 0}^{j_{hA}, 0} C_{l_2, 0, j_{cA}, m_{cA}}^{j_{hA}, m_{hA}} I(q), \quad (37)
\end{aligned}$$

где

$$\begin{aligned}
I(q) = & \int dq q^2 d\Omega_q j_{l_1}(qr_1) j_{l_2}(qr_2) \times \\
& \times \exp(iqd \cos(\theta_q)) (Y_{10}(\Omega_q))^2. \quad (38)
\end{aligned}$$

Здесь R_D и R_A — радиусы квантовых точек соответственно донора и акцептора, A_{cD} и A_{hD1} — нормировочные константы соответственно для волновых функций электронов и дырок донора (аналогично для акцептора), k_{cD} и k_{hD} — волновые числа для электронов и дырок донора, соответственно (аналогично для акцептора). Отметим, что в матричном элементе можно ограничиться интегрированием по области квантовой точки, так как волновая функция тяжелых дырок быстро затухает под барьером. Далее сформулируем правила отбора для матричного элемента $M_{Coul}^{(1)}$:

$$\begin{aligned}
m_{cA} &= m_{hA}, \\
m_{cD} &= m_{hD}, \\
l_1 + j_{cD} + j_{hD} &— четное, \\
l_2 + j_{cA} + j_{hA} &— четное, \\
|l_1 - j_{cD}| \leq j_{hD} &\leq l_1 + j_{cD}, \\
|l_2 - j_{cA}| \leq j_{hA} &\leq l_2 + j_{cA}. \quad (39)
\end{aligned}$$

Правила отбора (39) следуют из свойств симметрии коэффициентов Клебша–Гордана в выражении (37). Для интегрирования по q в (38) воспользуемся следующим разложением плоской волны:

$$\begin{aligned}
\exp(iqd \cos \theta_q) = & \\
= & \sqrt{4\pi} \sum_{l=0}^{\infty} i^l j_l(qd) \sqrt{2l+1} Y_{l0}(\Omega_q). \quad (40)
\end{aligned}$$

Произведение двух сферических функций выражается как [38]

$$\begin{aligned}
(Y_{10}(\Omega_q))^2 = & \\
= & \sum_{LM} \sqrt{\frac{9}{4\pi(2L+1)}} C_{1010}^{L0} C_{1010}^{LM} Y_{LM}(\Omega_q). \quad (41)
\end{aligned}$$

В силу свойств симметрии коэффициентов Клебша–Гордана в выражении (41) отличны от нуля только коэффициенты, для которых $L = 0, 2$. В этом случае $l = L = 0, 2$. Таким образом, интеграл (38) может быть представлен в виде

$$I(q) = \frac{1}{d^3} (I_0 - 2I_2), \quad (42)$$

где

$$I_l = \int_0^\infty t^2 dt j_l(t) j_{l_1}(tr_1/d) j_{l_2}(tr_2/d); \quad (43)$$

l принимает два значения: 0 и 2. Интеграл (43) может быть выражен через гипергеометрическую функцию Аппеля $F_4(a, b; c, d; x, y)$ [40]:

$$\begin{aligned}
I_l = & \pi^{\frac{3}{2}} \frac{1}{2} \left(\frac{r_1}{d} \right)^{l_1} \left(\frac{r_2}{d} \right)^{l_2} \times \\
& \times \left[\frac{\Gamma \left(\frac{l_1 + l_2 + l + 3}{2} \right)}{\Gamma \left(l_1 + \frac{3}{2} \right) \Gamma \left(l_2 + \frac{3}{2} \right) \Gamma \left(\frac{l - (l_1 + l_2)}{2} \right)} \times \right. \\
& \times F_4 \left(\frac{l_1 + l_2 - l + 2}{2}, \frac{l_1 + l_2 + l + 3}{2}; \right. \\
& \left. \left. l_1 + \frac{3}{2}, l_2 + \frac{3}{2}; \left(\frac{r_1}{d} \right)^2, \left(\frac{r_2}{d} \right)^2 \right) \right], \quad (44)
\end{aligned}$$

где $\Gamma(x)$ — гамма-функция. Вычисленный интеграл входит в выражение для матричного элемента (37). Из свойств Г-функции следует, что матричный элемент $M_{Coul}^{(1)}$ отличен от нуля, если выполняется одно из условий:

- 1) $l_1 = l_2 = 0,$
- 2) $l_1 + l_2$ — нечетное.

Подставляя выражение (42) в (37), получаем следующее выражение для матричного элемента:

$$\begin{aligned}
M_{Coul}^{(1)} = & \frac{2}{\pi} \frac{e^2}{\varepsilon d^3} \left(\frac{P}{E_g} \right)^2 A_{cD} A_{hD1} A_{cA} A_{hA1} \times \\
& \times \int_0^{R_D} r_1^2 dr_1 \int_0^{R_A} r_2^2 dr_2 \times \\
& \times \frac{1}{3} \sum_{l_1, l_2=0}^{\infty} (j_{j_{cD}}(k_{cD}r_1) j_{j_{hD}}(k_{hD}r_1)) \times \\
& \times (j_{j_{cA}}(k_{cA}r_2) j_{j_{hA}}(k_{hA}r_2)) \times \\
& \times \sqrt{\frac{2j_{cD}+1}{2j_{hD}+1}} \sqrt{\frac{2j_{cA}+1}{2j_{hA}+1}} C_{j_{hD}, m_{hD}, 1, 0}^{j_{cD}, m_{cD}} C_{j_{hA}, m_{hA}, 1, 0}^{j_{cA}, m_{cA}} \times \\
& \times (2l_1 + 1)(2l_2 + 1) i^{l_1 - l_2} C_{l_1, 0, j_{cD}, 0}^{j_{hD}, 0} C_{l_1, 0, j_{cD}, m_{cD}}^{j_{hD}, m_{hD}} \times \\
& \times C_{l_2, 0, j_{cA}, 0}^{j_{hA}, 0} C_{l_2, 0, j_{cA}, m_{cA}}^{j_{hA}, m_{hA}} (I_0 - 2I_2). \quad (46)
\end{aligned}$$

В том случае, когда $l_1 = l_2 = 0$,

$$\begin{aligned}
I_0 &= 0, \\
I_2 &= \pi^{3/2} \frac{1}{2} \frac{\Gamma(5/2)}{\Gamma(3/2)\Gamma(3/2)\Gamma(1)} = \frac{3\pi}{2}. \quad (47)
\end{aligned}$$

Выполняя интегрирование по r_1 и по r_2 , получаем

$$\begin{aligned}
M_{Coul}^{(1)} = & \frac{e^2}{\varepsilon d^3} \left(\frac{P}{E_g} \right)^2 A_{cD} A_{hD1} A_{cA} A_{hA1} \times \\
& \times (k_{hD} j_{j_{hD}-1} (k_{hD} R_D) j_{j_{cD}} (k_{cD} R_D) - \\
& - k_{cD} j_{j_{hD}} (k_{hD} R_D) j_{j_{cD}-1} (k_{cD} R_D)) \frac{R_D^2}{k_{cD}^2 - k_{hD}^2} \times \\
& \times (k_{hA} j_{j_{hA}-1} (k_{hA} R_A) j_{j_{cA}} (k_{cA} R_A) - \\
& - k_{cA} j_{j_{hA}} (k_{hA} R_A) j_{j_{cA}-1} (k_{cD} R_A)) \frac{R_A^2}{k_{cD}^2 - k_{hD}^2} \times \\
& \times C_{j_{hD}, m_{hD}, 1, 0}^{j_{cD}, m_{cD}} C_{j_{hA}, m_{hA}, 1, 0}^{j_{cA}, m_{cA}} \times \\
& \times \delta_{j_{cD}, j_{hD}} \delta_{m_{cD}, m_{hD}} \delta_{j_{cA}, j_{hA}} \delta_{m_{cA}, m_{hA}}. \quad (48)
\end{aligned}$$

Из правил отбора (39) следует, что при $l_1 = l_2 = 0$ матричный элемент отличен от нуля, если переходы, как в доноре, так и в акцепторе вовлекают состояния дырок и электронов с равными угловыми моментами $j_{cD} = j_{hD}$ и $j_{cA} = j_{hA}$, т. е. если переходы дипольно-разрешенные. Этим значениям l_1 и l_2 соответствует зависимость матричного элемента переноса энергии от расстояния между донором и акцептором вида $M_{Coul}^{(1)} \propto 1/d^3$, как это следует из выражений (44) и (46). При нечетном $l_1 + l_2$ суммы угловых моментов состояний, вовлеченных в переход, $j_{cD} + j_{hD}$ и $j_{cA} + j_{hA}$ должны иметь противоположную четность. Минимальные возможные значения l_1 и l_2 – соответственно 0 и 1. При этом условия, налагаемые на допустимые значения угловых моментов в (39), имеют вид $j_{cD} = j_{hD}$ и $|1 - j_{cA}| \leq j_{hA} \leq 1 + j_{cA}$.

В акцепторе, согласно этому, вклад в матричный элемент кулоновского взаимодействия могут давать только дипольно-запрещенные переходы. В этих случаях $M_{Coul}^{(1)}$ зависит от расстояния между донором и акцептором как $1/d^4$. Для того чтобы матричный элемент был отличен от нуля, соотношение радиусов донора и акцептора R_D и R_A должно быть всегда таким, при котором энергия перехода в доноре равна энергии перехода в акцепторе. Очевидно, что в случае квантовых точек с $R_D = R_A$ в резонанс попадают переходы между уровнями с совпадающими значениями угловых моментов, как дырок, так и электронов для обеих квантовых точек.

Рассмотрим теперь матричный элемент $M_{Coul}^{(2)}$ с волновой функцией тяжелой дырки второй поляризации ψ_{h2} . Вычисление данного матричного элемента может быть выполнено аналогично вычислению $M_{Coul}^{(1)}$. Полученное выражение для $M_{Coul}^{(2)}$ имеет вид

$$\begin{aligned}
M_{Coul}^{(2)} = & \frac{e^2}{\varepsilon d^3} \frac{2}{3\pi} \left(\frac{P}{E_g} \right)^2 A_{cD} A_{hD2} A_{cA} A_{hA2} \times \\
& \times \int_0^{R_D} \int_0^{R_A} dr_1 r_1^2 dr_2 r_2^2 \times \\
& \times \sum_{l_1, l_2=0}^{\infty} \left(j_{j_{cD}} (k_{cD} r_1) \left(\sqrt{\frac{j_{hD}}{2j_{hD}+1}} j_{j_{hD}+1} (k_{hD} r_1) \times \right. \right. \\
& \times C_{j_{hD}+1, m_{hD}, 1, 0}^{j_{cD}, m_{cD}} \sqrt{\frac{2j_{cD}+1}{2j_{hD}+3}} C_{l_1, 0, j_{cD}, 0}^{j_{hD}+1, 0} C_{l_1, 0, j_{cD}, m_{cD}}^{j_{hD}+1, m_{hD}} - \\
& - \sqrt{\frac{j_{hD}+1}{2j_{hD}+1}} j_{j_{hD}-1} (k_{hD} r_1) C_{j_{hD}-1, m_{hD}, 1, 0}^{j_{cD}, m_{cD}} \times \\
& \times \left. \sqrt{\frac{2j_{cD}+1}{2j_{hD}-1}} C_{l_1, 0, j_{cD}, 0}^{j_{hD}-1, 0} C_{l_1, 0, j_{cD}, m_{cD}}^{j_{hD}-1, m_{hD}} \right) \times \\
& \times \left(j_{j_{cA}} (k_{cA} r_2) \left(\sqrt{\frac{j_{hA}}{2j_{hA}+1}} j_{j_{hA}+1} (k_{hA} r_2) \times \right. \right. \\
& \times C_{j_{hA}+1, m_{hA}, 1, 0}^{j_{cA}, m_{cA}} \sqrt{\frac{2j_{cA}+1}{2j_{hA}+3}} C_{l_2, 0, j_{cA}, 0}^{j_{hA}+1, 0} C_{l_2, 0, j_{cA}, m_{cA}}^{j_{hA}+1, m_{hA}} - \\
& - \sqrt{\frac{j_{hA}+1}{2j_{hA}+1}} j_{j_{hA}-1} (k_{hA} r_2) C_{j_{hA}-1, m_{hA}, 1, 0}^{j_{cA}, m_{cA}} \times \\
& \times \left. \left. \sqrt{\frac{2j_{cA}+1}{2j_{hA}-1}} C_{l_2, 0, j_{cA}, 0}^{j_{hA}-1, 0} C_{l_2, 0, j_{cA}, m_{cA}}^{j_{hA}-1, m_{hA}} \right) \right) \times \\
& \times i^{l_1 - l_2} (2l_1 + 1)(2l_2 + 1) (I_0 - 2I_2), \quad (49)
\end{aligned}$$

где I_0 и I_2 представлены выражением (44). Из свойств Г-функции в (44) следует, что $M_{Coul}^{(2)} \neq 0$ при

$$\begin{aligned} l_1 + l_2 &= 0, \\ l_1 + l_2 &\text{ — нечетное.} \end{aligned} \quad (50)$$

Из свойств симметрии коэффициентов Клебша–Гордана следуют правила отбора для матричного элемента кулоновского взаимодействия $M_{Coul}^{(2)}$:

$$\begin{aligned} m_{cA} &= m_{hA}, \\ m_{cD} &= m_{hD}, \\ l_1 + j_{cD} + j_{hD} &\text{ — нечетное,} \\ l_2 + j_{cA} + j_{hA} &\text{ — нечетное,} \\ |l_1 - j_{cD}| &\leq j_{hD} \pm 1 \leq l_1 + j_{cD}, \\ |l_2 - j_{cA}| &\leq j_{hA} \pm 1 \leq l_2 + j_{cA}, \\ j_{hD}, j_{hA} &\geq 1. \end{aligned} \quad (51)$$

В случае $l_1 + l_2 = 0$ выражение (49) упрощается и приобретает следующий вид:

$$\begin{aligned} M_{Coul}^{(2)} = \frac{e^2}{\varepsilon d^3} \left(\frac{P}{E_g} \right)^2 &A_{cDA} A_{hD2} A_{cA} A_{hA2} \times \\ &\times \int_0^{R_D} r_1^2 dr_1 \int_0^{R_A} r_2^2 dr_2 2 \times \\ &\times \left(j_{cD}(k_{cD}r_1) \left(\sqrt{\frac{j_{hD}}{2j_{hD}+1}} j_{j_{hD}+1}(k_{hD}r_1) \times \right. \right. \\ &\times C_{j_{hD}+1, m_{hD}, 1, 0}^{j_{hD}, m_{hD}} \delta_{j_{cD}, j_{hD}+1} \delta_{m_{cD}, m_{hD}} - \\ &- \sqrt{\frac{j_{hD}+1}{2j_{hD}+1}} j_{j_{hD}-1}(k_{hD}r_1) \times \\ &\times C_{j_{hD}-1, m_{hD}, 1, 0}^{j_{hD}, m_{hD}} \delta_{j_{cD}, j_{hD}-1} \delta_{m_{cD}, m_{hD}} \left. \right) \times \\ &\times \left(j_{cA}(k_{cA}r_2) \left(\sqrt{\frac{j_{hA}}{2j_{hA}+1}} j_{j_{hA}+1}(k_{hA}r_2) \times \right. \right. \\ &\times C_{j_{hA}+1, m_{hA}, 1, 0}^{j_{hA}, m_{hA}} \delta_{j_{cA}, j_{hA}+1} \delta_{m_{cA}, m_{hA}} - \\ &- \sqrt{\frac{j_{hA}+1}{2j_{hA}+1}} j_{j_{hA}-1}(k_{hA}r_2) \times \\ &\times C_{j_{hA}-1, m_{hA}, 1, 0}^{j_{hA}, m_{hA}} \delta_{j_{cA}, j_{hA}-1} \delta_{m_{cA}, m_{hA}} \left. \right) \left. \right). \quad (52) \end{aligned}$$

Заметим, что интегралы в выражении (52) для матричного элемента также могут быть вычислены точно аналогично случаю $M_{Coul}^{(1)}$.

Из правил отбора (51) следует, что при $l_1 = l_2 = 0$ матричный элемент отличен от нуля только для дипольно-запрещенных переходов в доноре и акцепторе, удовлетворяющих условиям $j_{cD} = j_{hD} \pm 1$ и $j_{cA} = j_{hA} \pm 1$. Из выражений (49) и (44) следует,

что при этом матричный элемент $M_{Coul}^{(2)}$ зависит от расстояния между донором и акцептором как $1/d^3$. Когда $l_1 + l_2$ — нечетное число с минимальными возможными значениями $l_1 = 0$ и $l_2 = 1$, матричный элемент отличен от нуля для дипольно-запрещенных переходов в доноре, удовлетворяющих условию $j_{cD} = j_{hD} \pm 1$; на переходы в акцепторе налагаются ограничения: $j_{cA} + j_{hA}$ — четное число и $|1 - j_{cA}| \leq j_{hA} \pm 1 \leq 1 + j_{cA}$. Матричный элемент $M_{Coul}^{(2)}$ в этих случаях зависит от расстояния d как $1/d^4$. Как уже отмечалось, для того чтобы матричный элемент был отличен от нуля, соотношение значений R_D и R_A должно обеспечивать выполнение условия резонанса для соответствующих переходов. В случае квантовых точек с $R_D = R_A$ в резонанс попадают переходы между уровнями с совпадающими значениями угловых моментов, как дырок, так и электронов для обеих квантовых точек.

3.2. Матричный элемент прямого кулоновского взаимодействия с учетом подмешивания s - и p -состояний

До сих пор при вычислении матричных элементов кулоновского взаимодействия мы не учитывали подмешивания p -состояний к s -состояниям зоны проводимости. Как было показано, при учете подмешивания в выражении для матричного элемента (23) появляются дополнительные слагаемые, включающие следующие интегралы перекрытия:

$$I_{D2} = \int d^3 r_1 \psi_{hD}^*(\mathbf{r}_1) \psi_{cD}(\mathbf{r}_1) \exp(i\mathbf{q} \cdot \mathbf{r}_1) \quad (53)$$

и

$$I_{A2} = \int d^3 r_2 \psi_{hA}^*(\mathbf{r}_2) \psi_{cA}(\mathbf{r}_2) \exp(i\mathbf{q} \cdot \mathbf{r}_2). \quad (54)$$

Вычисление этих интегралов выполнено подобно вычислению интегралов перекрытия I_{D1} и I_{A1} : использовались переход к циклическим координатам для шаровых векторов и разложение плоских волн по сферическим функциям. Учет подмешивания вносит дополнительный вклад в матричный элемент, который имеет вид

$$\begin{aligned} M_{ad}^{(1)} &= \frac{4\pi e^2}{\varepsilon} \int \frac{d^3 q}{(2\pi)^3} \frac{1}{q^2} I_{D2}(q) I_{A2}^*(q) = \\ &= 2\sqrt{\pi} \frac{e^2}{\varepsilon d} \left(\frac{P}{E_g} \right)^2 A_{cDA}^* A_{hD}^* A_{cA}^* A_{hA} k^2 I_{ad}^{(1)}, \quad (55) \end{aligned}$$

где $I_{ad}^{(1)}$ определено в Приложении А. Правила отбора для этого вклада с учетом формулы (94) из Приложения А имеют вид

$$\begin{aligned}
&l_1 + l_2 \text{ — нечетное,} \\
&j_{hD} + j_{cD} + l_1 \text{ — нечетное,} \\
&j_{hA} + j_{cA} + l_2 \text{ — нечетное,} \\
&|j_{cD} + 1 - l_1| \leq j_{hD} \leq j_{cD} + 1 + l_1, \\
&|j_{cA} + 1 - l_2| \leq j_{hA} \leq j_{cA} + 1 + l_2, \\
&|j_{cD} - 1 - l_1| \leq j_{hD} \leq j_{cD} - 1 + l_1, \\
&j_{cD} \geq 1, \\
&|j_{cA} - 1 - l_2| \leq j_{hA} \leq j_{cA} - 1 + l_2, \\
&j_{cA} \geq 1, \\
&m_{cD} = m_{cA}, \\
&m_{hD} = m_{hA}.
\end{aligned} \tag{56}$$

Из выражений (56) следует, что минимальные возможные значения l_1 и l_2 , при которых матричный элемент $M_{ad}^{(1)}$ отличен от нуля, это $l_1 = 1$, $l_2 = 2$ (или $l_1 = 2$, $l_2 = 1$). Это определяет противоположную четность сумм $j_{cD} + j_{hD}$ и $j_{cA} + j_{hA}$. Неравенства в (56) налагают дополнительные ограничения на допустимые значения угловых моментов донорных и акцепторных состояний, которые могут давать вклад в перенос энергии. Зависимость матричного элемента от расстояния между квантовыми точками имеет вид $M_{Coul}^{(2)} \propto 1/d^4$. Этот вклад подавления состояний отличен от нуля только при радиусах $R_D \neq R_A$ и их соотношениях, обеспечивающих выполнение условия резонанса для соответствующих переходов.

Перекрестное слагаемое в матричном элементе (23) пропорционально произведению интегралов перекрытия I_{D2} и I_{A1} и имеет вид

$$M_{ad}^{(2)} = \frac{4e^2}{\pi^{3/2} \varepsilon d^2} A_{cD} A_{hD}^* A_{cA}^* A_{hA} \times \left(\frac{P}{E_g} \right)^2 k_{cD} I_{ad}^{(2)}, \tag{57}$$

где $I_{ad}^{(2)}$ приведено в Приложении А (95). Правила отбора для этого вклада, определяемые выражением (95), имеют вид

$$\begin{aligned}
&l_1 > 0, \\
&l_1 + l_2 \text{ — нечетное,} \\
&j_{hD} + j_{cD} + l_1 \text{ — нечетное,} \\
&j_{hA} + j_{cA} + l_2 \text{ — четное,} \\
&|j_{cD} + 1 - l_1| \leq j_{hD} \leq j_{cD} + 1 + l_1, \\
&|j_{cA} - 1 - l_2| \leq j_{hA} \leq j_{cA} + 1 + l_2, \\
&|j_{cD} - 1 - l_1| \leq j_{hD} \leq j_{cD} - 1 + l_1, \\
&m_{cA} = m_{hA}, \\
&m_{cD} = m_{hD}.
\end{aligned} \tag{58}$$

Перекрестный матричный элемент $M_{ad}^{(2)} \neq 0$ при минимальных возможных значениях $l_1 = 1$ и $l_2 = 0$. При этом согласно правилам отбора (58) суммы угловых моментов электронов и дырок как в доноре, так и в акцепторе, должны быть четными числами. Дополнительные условия для значений угловых моментов донорных и акцепторных состояний, которые могут давать вклад в перенос энергии, определяются неравенствами в (58). При $l_1 = 1$ и $l_2 = 0$ из этих неравенств следует, что в переносе энергии могут участвовать только дипольно-разрешенные переходы и в доноре, и в акцепторе. Зависимость матричного элемента от расстояния между квантовыми точками, как это следует из выражения (95), имеет вид $M_{ad}^{(2)} \propto 1/d^3$. При больших значениях l_1 и l_2 , удовлетворяющих условию $l_1 + l_2$ — нечетное число, $M_{ad}^{(2)}$ убывает с расстоянием как $1/d^5$ или быстрее.

3.3. Матричный элемент обменного взаимодействия

В предыдущих параграфах рассматривался процесс безызлучательного переноса энергии между квантовыми точками без учета обменного взаимодействия. Однако для малых расстояний между донором и акцептором энергии должен быть также учтен вклад обменного взаимодействия, который определяется только пространственным перекрытием волновых функций электронов донора и акцептора. Вследствие этого обменное взаимодействие допускает перенос энергии для всех разрешенных и запрещенных переходов в доноре и акцепторе. При малых расстояниях между донором и акцептором скорость переноса по обменному механизму может быть значительной в сравнении со скоростью переноса по прямому кулоновскому механизму. Когда прямой кулоновский перенос запрещен правилами отбора, роль обменного механизма становится определяющей. В работе [4] показано, что обменный вклад в скорость переноса энергии для типичной пары примесей, расположенной в соседних ячейках кристалла NaCl, составляет $10^{10}\text{--}10^{11} \text{ с}^{-1}$, тогда как для кулоновского вклада получена величина $10^{12}\text{--}10^{13} \text{ с}^{-1}$.

Поскольку в нашем случае явно выделена ось, соединяющая центры двух квантовых точек, решать задачу удобно в цилиндрической системе координат. Для вычисления обменного матричного элемента (14) следует перейти к координатам, отсчитываемым от одного центра, например, от центра квантовой точки-акцептора. При этом координатная часть матричного элемента приобретает вид

$$M_{ex} = \int d^3r'_1 \int d^3r_2 \psi_{csD}(\mathbf{r}'_1 - \mathbf{d}) \psi_{csA}^*(\mathbf{r}'_1) \times \\ \times \frac{e^2}{\varepsilon |\mathbf{r}'_1 - \mathbf{r}_2|} \psi_{hD}^*(\mathbf{r}_2 - \mathbf{d}) \psi_{hA}(\mathbf{r}_2). \quad (59)$$

Рассматривая вклад обменного взаимодействия в перенос энергии, мы ограничились вычислением матричного элемента M_{ex} с первым членом волновой функции электронов $\psi_s |s\rangle$ и с волновой функцией тяжелых дырок $\psi_{h1} |\mathbf{p}\rangle$, т. е. здесь $\psi_h |\mathbf{p}\rangle = \psi_{h1} |\mathbf{p}\rangle$.

Чтобы упростить вычисления, для сферических функций и шаровых векторов в волновых функциях электронов и дырок были приняты их значения при $\theta_1 = 0$ и $\theta_2 = 0$, $\theta'_1 = \pi$ и $\theta'_2 = \pi$, определяемые угловыми моментами и их проекциями:

$$Y_{jm}(0, \phi) = \delta_{m0} \sqrt{\frac{2j+1}{4\pi}}, \\ Y_{jm}(\pi, \phi) = (-1)^j \delta_{m0} \sqrt{\frac{2j+1}{4\pi}}, \\ \mathbf{Y}_{jm}^j(0, \phi) = \begin{cases} -m \sqrt{\frac{2j+1}{8\pi}} \mathbf{e}_m, & \text{если } m = \pm 1, \\ 0 - \text{в остальных случаях}, \end{cases} \quad (60) \\ \mathbf{Y}_{jm}^j(\pi, \phi) = (-1)^j Y_{jm}^j(0, \phi).$$

Следует отметить, что такое приближение позволило вести расчет не для всех значений проекций углового момента на ось z . Допустимыми являются значения $m_{cD} = m_{cA} = 0$ и $m_{hD} = m_{hA} = \pm 1$. При других значениях проекций угловых моментов необходимо более точное рассмотрение зависимостей $Y_{jm}(\theta, \phi)$ и $\mathbf{Y}_{jm}^j(\theta, \phi)$. Радиальные части волновых функций электронов донора для трех областей (для области донора, под барьером и для области акцептора) могут быть записаны как

$$\phi_{csD}(d - z'_1) = A_{cD} j_{j_{cD}}(k_{cD}(d - z'_1)), \\ d - R_D \leq z'_1 \leq d, \\ \phi_{csD}(d - z'_1) = B_{cD} k_{j_{cD}}(\kappa_{cD}(d - z'_1)), \\ R_A \leq z'_1 \leq d - R_D, \quad (61) \\ \phi_{csD}(d - z'_1) = C_{cD} j_{j_{cD}}(k_{cD}(d - z'_1)), \\ 0 \leq z'_1 \leq R_A.$$

Границные условия для этих функций имеют вид

$$A_{cD} j_{j_{cD}}(k_{cD} R_D) = B_{cD} k_{j_{cD}}(\kappa_{cD} R_D), \quad (62) \\ B_{cD} k_{j_{cD}}(\kappa_{cD}(d - R_A)) = C_{cD} j_{j_{cD}}(k_{cD}(d - R_A)).$$

Аналогично могут быть представлены радиальные части волновых функций электронов акцептора, а также дырок донора и акцептора и граничные условия для этих функций.

Для рассматриваемой системы кулоновский потенциал в цилиндрической системе координат представляется выражением

$$\frac{e^2}{\varepsilon r} = \frac{e^2}{\varepsilon \sqrt{p^2 + z^2}}, \quad (63)$$

где $r = |\mathbf{r}'_1 - \mathbf{r}_2|$, $z = z'_1 - z_2$, $p^2 = \rho_1^2 + \rho_2^2 - 2\rho_1\rho_2 \times \cos(\varphi_1 - \varphi_2)$. Далее может быть использована интегральная формула

$$\frac{1}{\sqrt{p^2 + z^2}} = \int_0^\infty e^{-q|z|} J_0(qp) dq. \quad (64)$$

Здесь $J_0(qp)$ — функция Бесселя нулевого значка. Теперь матричный элемент (59) приобретает вид

$$M_{ex} \approx \frac{e^2}{\varepsilon} S \int \rho_1 d\rho_1 d\varphi_1 dz'_1 \int \rho_2 d\rho_2 d\varphi_2 dz_2 \times \\ \times \int_0^\infty dq \phi_{cD}(d - z'_1) \phi_{csA}^*(z'_1) \exp(-q|z'_1 - z_2|) \times \\ \times J_0(qp) \phi_{hD}^*(d - z_2) \phi_{hA}(z_2), \quad (65)$$

где

$$S = (-1)^{j_{cD} + j_{hD} + m_{hD} + 1} \delta_{m_{cD}, 0} \sqrt{\frac{2j_{cD} + 1}{4\pi}} \times \\ \times \delta_{m_{cA}, 0} \sqrt{\frac{2j_{cD} + 1}{4\pi}} (\delta_{m_{hD}, 1} + \delta_{m_{hD}, -1}) \times \\ \times \sqrt{\frac{2j_{hD} + 1}{8\pi}} \sqrt{\frac{2j_{hA} + 1}{8\pi}} \delta_{m_{hD}, m_{hA}}. \quad (66)$$

Использование теоремы сложения Графа [40] позволяет представить $J_0(qp)$ как

$$J_0(qp) = \sum_{n=-\infty}^{\infty} J_n(q\rho_1) J_n(q\rho_2) e^{in(\varphi_1 - \varphi_2)}, \quad (67)$$

где переменные ρ_1 , ρ_2 , φ_1 , φ_2 разделяются. Подставляя (67) в (65), получаем матричный элемент в виде

$$M_{ex} \approx \frac{e^2}{\varepsilon} 4\pi^2 S \int \rho_1 d\rho_1 dz'_1 \int \rho_2 d\rho_2 dz_2 \times \\ \times \int_0^\infty dq \phi_{csD}(d - z'_1) \phi_{csA}^*(z'_1) \exp(-q|z'_1 - z_2|) \times \\ \times J_0(q\rho_1) J_0(q\rho_2) \phi_{hD}^*(d - z_2) \phi_{hA}(z_2), \quad (68)$$

так как все интегралы по φ_1 и φ_2 равны нулю при всех n , кроме $n = 0$. Область интегрирования по ρ следует ограничить значениями ρ_{max} , для которых

справедливо выбранное приближение для функций $Y_{jm}(\theta, \phi)$ и \mathbf{Y}_{jm}^j , т. е. должно выполняться условие $\rho_{max} \ll d$. Для вычисления интегралов по ρ в (68) воспользуемся следующим представлением [40]:

$$\int_0^{\rho_{max}} \rho_{1(2)} J_0(q\rho_{1(2)}) d\rho_{1(2)} = \frac{\rho_{max}}{q} J_1(q\rho_{max}). \quad (69)$$

Тогда для обменного матричного элемента M_{ex} получаем

$$\begin{aligned} M_{ex} \approx & \frac{e^2}{\varepsilon} 4\pi^2 S \rho_{max}^2 \int_0^\infty \frac{dq}{q^2} J_1^2(q\rho_{max}) \times \\ & \times \int dz'_1 \int dz_2 \phi_{csD}(d - z'_1) \phi_{csA}^*(z'_1) \times \\ & \times e^{-q|z'_1 - z_2|} \phi_{hD}^*(d - z_2) \phi_{hA}(z_2). \end{aligned} \quad (70)$$

В формуле (70) можно выполнить интегрирование по q [39]:

$$\begin{aligned} & \int_0^\infty \frac{dq}{q^2} J_1^2(q\rho_{max}) \exp(-q|z'_1 - z_2|) = \\ & = \rho_{max} \left\{ \frac{4}{3\pi} (\eta^2 + 1)^{1/2} \left[\eta^2 K((\eta^2 + 1)^{-1/2}) + \right. \right. \\ & \left. \left. + (1 - \eta^2) E((\eta^2 + 1)^{-1/2}) \right] - \eta \right\}. \end{aligned} \quad (71)$$

Здесь $\eta = |z'_1 - z_2|/(2\rho_{max})$, $K(\xi)$, $E(\xi)$ — полные эллиптические интегралы первого и второго рода. Введем следующие величины:

$$\begin{aligned} P(\eta_{1(2)}^2) = & \rho_{max} \left\{ \frac{4}{3\pi} (\eta_{1(2)}^2 + 1)^{1/2} \times \right. \\ & \times \left[\eta_{1(2)}^2 K((\eta_{1(2)}^2 + 1)^{-1/2}) + \right. \\ & \left. \left. + (1 - \eta_{1(2)}^2) E((\eta_{1(2)}^2 + 1)^{-1/2}) \right] \right\}, \end{aligned} \quad (72)$$

где $\eta_1 = (z'_1 - z_2)/(2\rho_{max})$ при $z'_1 > z_2$ и $\eta_2 = (z_2 - z'_1)/(2\rho_{max})$ при $z'_1 < z_2$. Теперь выражение для матричного элемента (70) может быть переписано в виде

$$\begin{aligned} M_{ex} \approx & \frac{e^2}{\varepsilon} 4\pi^2 S \rho_{max}^3 \left[\int_0^{R_A} \phi_{csD}^*(d - z'_1) \phi_{csA}(z'_1) dz'_1 + \right. \\ & + \int_{R_A}^{d-R_D} \phi_{csD}(d - z'_1) \phi_{csA}^*(z'_1) dz'_1 + \\ & \left. + \int_{d-R_D}^d \phi_{csD}(d - z'_1) \phi_{csA}^*(z'_1) dz'_1 \right] \times \\ & \times \left[\int_0^{z'_1} \phi_{hD}^*(d - z_2) \phi_{hA}(z_2) (P(\eta_1^2) - \eta_1) dz_2 + \right. \\ & \left. + \int_{z'_1}^d \phi_{hD}^*(d - z_2) \phi_{hA}(z_2) (P(\eta_2^2) - \eta_2) dz_2 \right]. \end{aligned} \quad (73)$$

Тогда матричный элемент может быть представлен в виде

$$M_{ex} \approx \frac{e^2}{\varepsilon} 4\pi^2 S \rho_{max}^3 [J_1 + J_2 + J_3]. \quad (74)$$

Выражения для J_1 , J_3 и J_2 содержат вклады, отвечающие интегрированию по области акцептора, донора, а также по области между донором и акцептором и приведены в Приложении В. Для расстояний между квантовыми точками близких к контактным можно полагать вклад последней области малым по сравнению с вкладами областей квантовых точек. Для частного случая одинаковых квантовых точек в силу симметрии системы численное значение J_3 равно численному значению J_1 . Тогда для расстояний близких к контактным матричный элемент может быть записан как

$$M_{ex} \approx \frac{e^2}{\varepsilon} 4\pi^2 S \rho_{max}^3 2J_1. \quad (75)$$

Анализ показывает, что J_1 (Приложение В, формула (101)) зависит от расстояния d между донором и акцептором энергии как

$$J_1 \propto (kd)^{-2} \exp(-\kappa(d - 2R)). \quad (76)$$

Это выражение для J_1 получено для значений полного углового момента $j_{cD} = j_{hD} = 1$ и $j_{cA} = j_{hA} = 1$. Для переходов между уровнями с другими значениями полных угловых моментов зависимость J_1 от расстояния d будет иметь такой же вид. В результате зависимость матричного элемента обменного взаимодействия от расстояния d определяется выражениями (75) и (101) (см. Приложение В). В итоге, матричный элемент обменного взаимодействия как функция расстояния d изменяется по закону

$$M_{ex} \propto \frac{e^2}{\varepsilon} 4\pi^2 S \rho_{max}^3 (kd)^{-2} \exp(-\kappa(d - 2R)). \quad (77)$$

Здесь мы выделяем только зависимость матричного элемента от расстояния d между квантовыми точками, так как она является основной характеристикой процесса переноса энергии.

4. СКОРОСТЬ РЕЗОНАНСНОГО ПЕРЕНОСА ЭНЕРГИИ

Теперь перейдем к рассмотрению вопроса о вычислении скорости безызлучательного резонансного переноса энергии между квантовыми точками. Мы рассматриваем перенос энергии от квантовой точки-донора (D) к квантовой точке-акцептору (A).

В дальнейшем мы интересуемся процессом переноса энергии в системе, когда передача энергии от квантовой точки-донора к квантовой точке-акцептору носит необратимый характер и связана с процессами релаксации возбужденных состояний. Для описания процессов переноса энергии в квантовомеханической системе с диссипацией удобно использовать формализм матрицы плотности, который дает возможность феноменологически учесть как релаксационные процессы внутри системы, так и взаимодействие квантовой системы с ее окружением [1, 41]. Уравнение для матрицы плотности $\hat{\rho}$ в нашем случае имеет следующий вид [1, 49]:

$$\begin{aligned} i\hbar \frac{\partial \rho_{jj}}{\partial t} &= [M_c, \rho]_{jj} + \frac{i\hbar}{T_1} (\rho_{jj}^e - \rho_{jj}), \\ i\hbar \frac{\partial \rho_{ij}}{\partial t} &= (E_i - E_j) \rho_{ij} + [M_c, \rho]_{ij} - \frac{i\hbar}{T_2} \rho_{ij}. \end{aligned} \quad (78)$$

Здесь M_c — матричный элемент кулоновского взаимодействия между КТ, ρ_{ii} — диагональные элементы матрицы плотности, ρ_{ij} — недиагональные элементы, ρ_{jj}^e — равновесное значение диагонального элемента матрицы плотности, T_1 — «продольное» время релаксации диагональных элементов матрицы плотности (это время излучательных и безызлучательных переходов между уровнями, определяющими населенность состояний), T_2 — «поперечное» время, которое характеризует релаксацию недиагональных элементов матрицы плотности, $E_i - E_j$ — разность энергий между начальным и возбужденным состояниями.

Рассмотрим матрицу плотности для следующих состояний (донора и акцептора):

$$|1\rangle = \psi'_D \psi_A, \quad |2\rangle = \psi_D \psi'_A, \quad |3\rangle = \psi_D \psi_A. \quad (79)$$

Здесь штрих относится к возбужденному состоянию соответственно донора и акцептора. Состояние $|3\rangle$,

когда обе квантовые точки находятся в основном состоянии (не возбуждены), необходимо для сохранения нормировки: $\rho_{11} + \rho_{22} + \rho_{33} = 1$. В нашем случае (комнатная температура) ширина запрещенной зоны квантовой точки-донора и квантовой точки-акцептора $E_g^{D,A} \gg k_B T$ (k_B — постоянная Больцмана, T — абсолютная температура). Тогда очевидно, что равновесные значения диагональных элементов матрицы плотности равны: $\rho_{11}^e = \rho_{22}^e = 0$, $\rho_{33}^e = 1$. В результате из (78) получаем систему уравнений для элементов матрицы плотности [1]:

$$\begin{aligned} \frac{\partial \rho_{11}}{\partial t} &= \frac{1}{i\hbar} ((M_c)_{12}\rho_{21} - (M_c)_{21}\rho_{12}) - \frac{\rho_{11}}{\tau_D}, \\ \frac{\partial \rho_{22}}{\partial t} &= \frac{1}{i\hbar} ((M_c)_{21}\rho_{12} - (M_c)_{12}\rho_{21}) - \frac{\rho_{22}}{\tau_A}, \\ \frac{\partial \rho_{12}}{\partial t} &= \frac{1}{i\hbar} (M_c)_{12}(\rho_{22} - \rho_{11}) - \frac{\rho_{12}}{T_2} + \frac{\Delta E}{i\hbar} \rho_{12}, \\ \frac{\partial \rho_{21}}{\partial t} &= \frac{1}{i\hbar} (M_c)_{21}(\rho_{11} - \rho_{22}) - \frac{\rho_{21}}{T_2} - \frac{\Delta E}{i\hbar} \rho_{21}. \end{aligned} \quad (80)$$

Здесь $\Delta E = E_g^A - E_g^D$ (расстройка резонанса), τ_D и τ_A — продольное время релаксации для донора и акцептора, время поперечной релаксации для двух взаимодействующих квантовых точек (D и A) связано с полуширинами уровней в доноре и акцепторе Γ_D и Γ_A следующим образом:

$$\frac{2}{T_2} = \frac{\Gamma_D}{\hbar} + \frac{\Gamma_A}{\hbar}.$$

Проанализируем систему уравнений (80), следя за работе [1]. Во-первых, общее решение системы (80) имеет характер затухающих осцилляций. Во-вторых, возбужденный донор может «бросить» энергию (т. е. релаксировать с характерным временем τ_l) благодаря двум процессам: излучательной рекомбинации $1/\tau_D$ или переноса энергии к акцептору, т. е.

$$\frac{1}{\tau_l} \equiv \left[\int_0^\infty \rho_{11}(t) dt \right]^{-1} = \frac{1}{\tau_D} + \overline{W}, \quad (81)$$

где \overline{W} можно рассматривать как обобщенную вероятность переноса энергии от донора к акцептору. Далее, решим систему уравнений (80) методом, предложенным в работе [50]; для этого проведем преобразование Лапласа над компонентами матрицы плотности:

$$\begin{aligned} f_{ij}(s) &= \mathcal{L}(\rho_{ij}) = \int_0^\infty \exp(-st) \rho_{ij}(t) dt, \\ \int_0^\infty \exp(-st) \frac{\partial \rho_{ij}}{\partial t} dt &= s f_{ij}(s) - \rho_{ij}(0). \end{aligned} \quad (82)$$

В результате преобразований Лапласа система уравнений (80) принимает вид

$$\begin{aligned} sf_{11} - \rho_{11}(0) &= \frac{1}{i\hbar} ((M_c)_{12} f_{21} - (M_c)_{21} f_{12}) - \frac{f_{11}}{\tau_D}, \\ sf_{22} - \rho_{22}(0) &= \frac{1}{i\hbar} ((M_c)_{21} f_{12} - (M_c)_{12} f_{21}) - \frac{f_{22}}{\tau_A}, \\ sf_{12} - \rho_{12}(0) &= \frac{1}{i\hbar} (M_c)_{12} (f_{22} - f_{11}) - \frac{f_{12}}{T_2} + \\ &\quad + \frac{\Delta E}{i\hbar} f_{12}, \\ sf_{21} - \rho_{21}(0) &= \frac{1}{i\hbar} (M_c)_{21} (f_{11} - f_{22}) - \frac{f_{21}}{T_2} - \\ &\quad - \frac{\Delta E}{i\hbar} f_{21}. \end{aligned} \quad (83)$$

Следует заметить, что согласно (81) и (82) можно представить обобщенную вероятность в виде

$$\overline{W} = -\frac{1}{\tau_D} + f_{11}^{-1}(0), \quad (84)$$

где

$$f_{11}(0) = \int_0^\infty \rho_{11}(t) dt. \quad (85)$$

Полагая в (83) $s = 0$, учитывая начальные условия $\rho_{11}(0) = 1$ и $\rho_{ij}(0) = 0$ при $i \neq 1$ или $j \neq 1$, получаем следующее решение:

$$\begin{aligned} f_{11}^{-1}(0) &= \left[\int_0^\infty \rho_{11}(t) dt \right]^{-1} = \\ &= \frac{1}{\tau_D} + \frac{2|(M_c)_{12}|^2 T_2 / \hbar^2}{1 + \left(\frac{T_2 \Delta E}{\hbar} \right)^2 + \frac{2|(M_c)_{12}|^2}{\hbar^2} T_2 \tau_A}. \end{aligned} \quad (86)$$

В результате, для обобщенной вероятности переноса \overline{W} получаем

$$\overline{W} = \frac{2|(M_c)_{12}|^2 T_2 / \hbar^2}{1 + \left(\frac{T_2 \Delta E}{\hbar} \right)^2 + \frac{2|(M_c)_{12}|^2}{\hbar^2} T_2 \tau_A}. \quad (87)$$

Для анализа полученного решения и выяснения физического смысла рассмотрим ряд конкретных случаев [1].

Случай малого расстояния между квантовыми точками, когда взаимодействие между ними велико, так что

$$|M_c| \gg \frac{\hbar}{\tau_D}, \frac{\hbar}{\tau_A}, \frac{\hbar}{T_2}. \quad (88)$$

В этом случае решение (80) для ρ_{11} (при $\Delta E = 0$) осциллирует с частотой $\Omega = 2|M_c|/\hbar$; в системе происходит «перекачка» энергии от донора к акцептору и обратно. В этом предельном случае обобщенная вероятность \widehat{W} стремится к $1/\tau_A$, т. е. скорость переноса энергии определяется скоростью перехода акцептора из возбужденного состояния в основное (см. рис. 3). Результаты расчета для Ω для разных случаев представлены в табл. 1, 2.

Зависимость обобщенной вероятности переноса энергии \overline{W} (рассчитанная по формуле (87)) от расстояния между КТ представлена на рис. 3 для двух значений τ_A . Чем больше значение времени жизни акцептора, тем больше расстояние между КТ, при котором происходит насыщение обобщенной вероятности \overline{W} .

При слабом взаимодействии между КТ, когда

$$\frac{2|M_c|^2}{\hbar^2} T_2 \tau_A \ll 1,$$

согласно формуле (87) получаем

$$\overline{W} = W = \frac{2|(M_c)_{12}|^2 T_2 / \hbar^2}{1 + (T_2 \Delta E / \hbar)^2}. \quad (89)$$

В этом случае перенос энергии от донора к акцептору является необратимым процессом и величина W соответствует истинной скорости переноса энергии в единицу времени. Следует отметить, что выражение (89) может быть получено в рамках обычной теории возмущений. Выражение (89) может быть переписано в виде

$$W = \frac{2\pi}{\hbar} |(M_c)_{12}|^2 \rho_f, \quad (90)$$

где

$$\rho_f = \frac{1}{\pi} \frac{T_2 / \hbar}{1 + \frac{(T_2 \Delta E)^2}{\hbar^2}}. \quad (91)$$

Выше мы вычислили матричные элементы кулоновского взаимодействия, соответствующие двум поляризациям тяжелых дырок ($M_{Coul}^{(1)}$ (37) и $M_{Coul}^{(2)}$ (49)), матричные элементы, связанные с подмешиванием состояний валентной зоны к состояниям зоны проводимости ($M_{ad}^{(1)}$ (55), $M_{ad}^{(2)}$ (57), $M_{ad}^{(3)}$), а также обменный матричный элемент M_{ex} (75). Соответственно этому их вклады в скорость переноса энергии принимают вид

$$W_{D \rightarrow A}^{(\alpha)} = \frac{2\pi}{\hbar} \sum_{\alpha} |(M_c)_{12}^{(\alpha)}|^2 \rho_f, \quad (92)$$

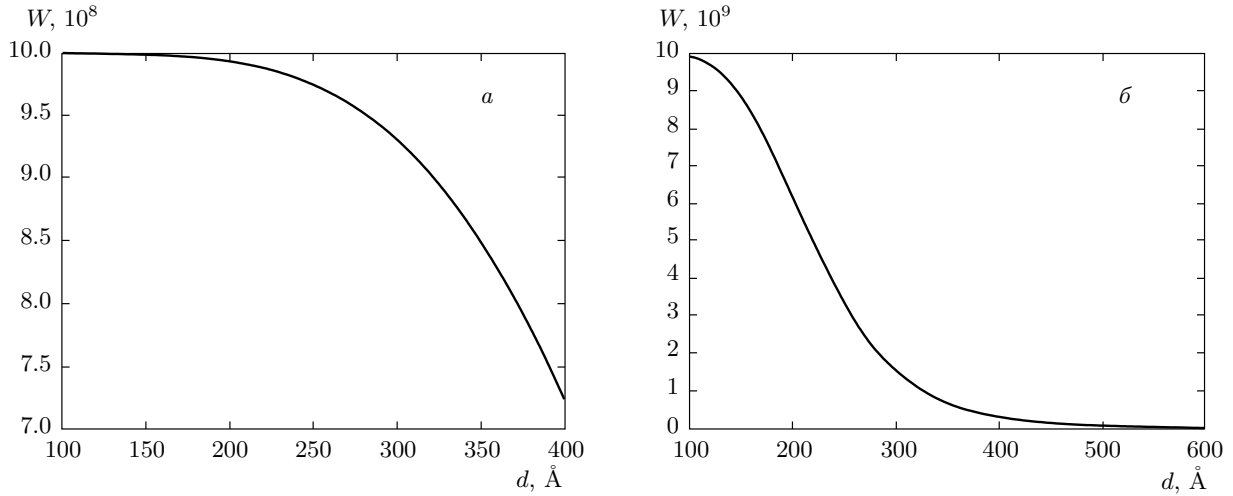


Рис. 3. Зависимость скорости безызлучательного резонансного переноса энергии от расстояния между квантовыми точками. Вычисление выполнено для перехода в доноре и акцепторе с квантовыми числами $n_c = n_h = 1$ для волновой функции тяжелой дырки второй поляризации для основного перехода ψ_{h2} . Для расчета принимались следующие параметры $R_D = R_A = 3$ нм, $V_c = V_v = 0.52$ эВ, $E_g = 0.38$ эВ, $m_c = 0.03m_0$, $m_h = 0.5m_0$, $\tau_A = 10^{-9}$ с (a), $\tau_A = 10^{-10}$ с (б); $M_{Coul}^{(2)}$ вычислен для значений углового момента и его проекции $(0,0)$, $(1,0)$

Таблица 1. Частота Ω , вычисленная с матричным элементом $M_{Coul}^{(1)}$ в предельном случае малых расстояний. Для расчета используются следующие параметры: $R_D = R_A = 3$ нм, $d = 16$ нм, $V_c = V_v = 0.52$ эВ, $E_g = 0.38$ эВ, $m_c = 0.03m_0$, $m_h = 0.5m_0$

Квантовые числа		Частота Ω , с^{-1}
(n_{cD}, j_{cD}, m_{cD}) , (n_{hD}, j_{hD}, m_{hD})	(n_{cA}, j_{cA}, m_{cA}) , (n_{hA}, j_{hA}, m_{hA})	
$(1,1,1)$, $(1,1,1)$	$(1,1,1)$, $(1,1,1)$	$1.268 \cdot 10^{11}$
$(1,1,1)$, $(2,1,1)$	$(1,1,1)$, $(2,1,1)$	$2.022 \cdot 10^{10}$

Таблица 2. Частота Ω , вычисленная с матричным элементом $M_{Coul}^{(2)}$ в предельном случае малых расстояний. Для расчета используются следующие параметры: $R_D = R_A = 3$ нм, $d = 16$ нм, $V_c = V_v = 0.52$ эВ, $E_g = 0.38$ эВ, $m_c = 0.03m_0$, $m_h = 0.5m_0$

Квантовые числа		Частота Ω , с^{-1}
(n_{cD}, j_{cD}, m_{cD}) , (n_{hD}, j_{hD}, m_{hD})	(n_{cA}, j_{cA}, m_{cA}) , (n_{hA}, j_{hA}, m_{hA})	
$(1,0,0)$, $(1,1,0)$	$(1,0,0)$, $(1,1,0)$	$1.773 \cdot 10^{10}$
$(1,1,1)$, $(1,2,1)$	$(1,1,1)$, $(1,2,1)$	$5.932 \cdot 10^9$
$(1,1,0)$, $(1,2,0)$	$(1,1,0)$, $(1,2,0)$	$7.909 \cdot 10^9$
$(1,0,0)$, $(2,1,0)$	$(1,0,0)$, $(2,1,0)$	$2.514 \cdot 10^9$

где $(M_c)_{12}^{(\alpha)}$ обозначает один из перечисленных матричных элементов для перехода системы из состояния 1 в состояние 2. Переходы, участвующие в переносе энергии, определены соответствующими правилами отбора. Поскольку все эти вклады независимы,

полная скорость переноса энергии от квантовой точки-донора к квантовой точке-акцептору представляется выражением

$$W_{D \rightarrow A} = \sum_{\alpha} W_{D \rightarrow A}^{\alpha}. \quad (93)$$

Таблица 3. Скорость безызлучательного переноса энергии, вычисленная с матричным элементом $M_{Coul}^{(1)}$. Для расчета используются следующие параметры: $R_D = R_A = 3$ нм, $d = 48$ нм, $V_c = V_v = 0.52$ эВ, $E_g = 0.38$ эВ, $m_c = 0.03m_0$, $m_h = 0.5m_0$

Квантовые числа		Скорость W , с^{-1}
$(n_{cD}, j_{cD}, m_{cD}), (n_{hD}, j_{hD}, m_{hD})$	$(n_{cA}, j_{cA}, m_{cA}), (n_{hA}, j_{hA}, m_{hA})$	
$(1,1,1), (1,1,1)$	$(1,1,1), (1,1,1)$	$1.385 \cdot 10^9$
$(1,1,1), (2,1,1)$	$(1,1,1), (2,1,1)$	$3.526 \cdot 10^7$

Таблица 4. Скорость безызлучательного переноса энергии, вычисленная с матричным элементом $M_{Coul}^{(2)}$. Для расчета используются следующие параметры: $R_D = R_A = 3$ нм, $d = 48$ нм, $V_c = V_v = 0.52$ эВ, $E_g = 0.38$ эВ, $m_c = 0.03m_0$, $m_h = 0.5m_0$

Квантовые числа		Скорость W , с^{-1}
$(n_{cD}, j_{cD}, m_{cD}), (n_{hD}, j_{hD}, m_{hD})$	$(n_{cA}, j_{cA}, m_{cA}), (n_{hA}, j_{hA}, m_{hA})$	
$(1,0,0), (1,1,0)$	$(1,0,0), (1,1,0)$	$4.632 \cdot 10^8$
$(1,1,1), (1,2,1)$	$(1,1,1), (1,2,1)$	$3.032 \cdot 10^6$
$(1,1,0), (1,2,0)$	$(1,1,0), (1,2,0)$	$5.390 \cdot 10^6$
$(1,0,0), (2,1,0)$	$(1,0,0), (2,1,0)$	$5.447 \cdot 10^5$

В численных расчетах для времени жизни электрона в основном состоянии зоны проводимости мы приняли значение $\tau_{DA} = 10^{-9}$ с [44]. Экспериментальные значения этой величины приводятся в ряде работ. В работе [45] получено значение времени жизни $\tau = 882$ пс. Это близко к значению времени жизни излучательной рекомбинации $\tau = 0.7$ нс, полученному в работе [46]. Время жизни электрона в возбужденном состоянии зоны проводимости меньше вследствие внутризонной релаксации. Для возбужденных состояний было принято значение $\tau = 10^{-11}$ с [21].

Результаты численных расчетов в скорости переноса энергии, согласно (92), представлены в табл. 3, 4. Расчеты были выполнены для квантовых точек InAs в матрице GaAs с $R_D = R_A = 3$ нм при $V_c = V_v = 0.52$ эВ, $E_g = 0.38$ эВ, $m_c = 0.03m_0$, $m_h = 0.5m_0$ и $\tau = 10^{-9}$ с для основного состояния и $\tau = 10^{-11}$ с для возбужденных уровней.

Кроме того, рассмотрим еще один предельный случай, когда время релаксации в доноре много больше времени релаксации в акцепторе ($\tau_D \gg \tau_A$). Тогда теория возмущений (92) становится применимой. В этом случае перенос энергии также является необратимым процессом. Для этого необходимо

условие совпадения резонансов переходов в доноре и акцепторе с разными квантовыми числами. Такой расчет был проделан и для $R_d = 3$ нм было получено ненулевое значение скорости переноса при $R_a = 4.36$ нм. В этом случае квантовые числа приняли следующие значения: $n_{cd} = 1$, $l_{cd} = 0$, $m_{cd} = 0$, $n_{hd} = 1$, $l_{hd} = 1$, $m_{hd} = 0$; и для акцептора $n_{ca} = 1$, $l_{ca} = 0$, $m_{ca} = 0$, $n_{ha} = 2$, $l_{ha} = 1$, $m_{ha} = 0$. Для этих квантовых чисел и для наших параметров было получено $W_{Coul}^{(2)} = 7.050 \cdot 10^9$ с. В этом случае вероятность переноса $W \ll 1/\tau_A$, но $W \gg 1/\tau_D$. Таким образом, теория возмущений становится применимой и мы достигаем высокой эффективности процесса переноса энергии.

Отметим, что все матричные элементы в нашей работе были найдены на основании модели Кейна, не учитывающей спин-орбитального взаимодействия. В работах [34, 36] было показано, что включение модели Кейна спин-орбитального взаимодействия приводит к умножению скорости оже-рекомбинации на функцию $F(\Delta_{so}/E_g)$, где Δ_{so} — константа спин-орбитального взаимодействия. Вычисления показали, что при любых соотношениях между Δ_{so} и E_g функция $F(\Delta_{so}/E_g)$ меняется мало, имея максимальное значение $F(\Delta_{so}/E_g) = 1$.

и минимальное $F(\Delta_{so}/E_g) = 0.9$. Поскольку скорость переноса энергии определяется матричными элементами подобными тем, что определяют скорость оже-рекомбинации, такой же множитель должен появиться в выражении для скорости переноса энергии при включении в уравнения Кейна спин-орбитального взаимодействия.

5. ОБСУЖДЕНИЕ РЕЗУЛЬТАТОВ

В рамках модели Кейна выполнен микроскопический анализ механизмов безызлучательного переноса энергии между полупроводниковыми квантовыми точками на основе узкозонных соединений A_3B_5 . Дополнительные вклады в скорость переноса энергии, отсутствующие в простой модели эффективной массы [20, 21] и других моделях зонной структуры [18, 19], обусловлены подмешиванием p -состояний валентной зоны к s -состояниям зоны проводимости. Найдены аналитические выражения для всех вкладов в матричный элемент кулоновского взаимодействия для системы двух сферических квантовых точек, изготовленных из одного и того же полупроводникового материала A_3B_5 и помещенных в матрицу из другого полупроводникового материала. Согласно полученным правилам отбора в процесс переноса энергии могут быть вовлечены как дипольно-разрешенные, так и дипольно-запрещенные переходы в доноре и акцепторе. Для всех вкладов получены зависимости матричного элемента от расстояния d между центрами квантовых точек, что является основной характеристикой процесса переноса энергии.

Детально рассмотрены переходы в доноре и акцепторе, вклады которых в скорость переноса энергии убывают с расстоянием d не быстрее, чем $1/d^8$, для системы двух квантовых точек с равными радиусами $R_D = R_A$. Матричные элементы переноса энергии, вычисленные с волновой функцией тяжелых дырок ψ_{h1} и с волновой функцией электронов s -симметрии (без учета подмешивания), а также с учетом подмешивания p -симметрии в волновой функции донора (акцептора), определяют дипольно-разрешенные и дипольно-запрещенные переходы в доноре и акцепторе, вклады которых в скорость переноса энергии $W_{Coul}^{(1)}, W_{ad}^{(2)}$ и $W_{ad}^{(3)}$ имеют зависимость от расстояния d вида $1/d^6$. Вклад в скорость переноса энергии, определяемый волновой функцией тяжелых дырок ψ_{h2} и волновой функцией электронов s -симметрии, $W_{Coul}^{(2)}$, в случае $R_D = R_A$ отличен от нуля только для дипольно-запрещенных пере-

ходов. Для него скорость переноса пропорциональна $1/d^6$. Для квантовых точек при $R_D \neq R_A$ возможен перенос энергии, вовлекающий дипольно-запрещенные состояния, с зависимостью скорости переноса от d вида $1/d^8$. Вклад, определяемый подмешиванием p -состояний валентной зоны к s -состояниям зоны проводимости как для донора, так и для акцептора, $W_{ad}^{(1)}$, согласно правилам отбора может быть отличен от нуля только тогда, когда радиусы донора и акцептора различны. Скорость переноса в этом случае зависит от расстояния как $1/d^8$. Получено, что наибольший вклад в скорость переноса энергии вносят основные переходы в доноре и акцепторе. На рис. 3 представлена зависимость скорости прямого кулоновского вклада, вычисленного с волновой функцией ψ_{h2} . Расчет проводился по общей формуле за рамками приближения теории возмущений, для двух времен релаксации в акцепторе $\tau_A = 10^{-9}$ с и $\tau_A = 10^{-10}$ с. Следует отметить, что практически важными являются вклады, для которых скорость переноса энергии превышает скорость релаксации возбужденного состояния электрона в доноре. Выполнен численный расчет вероятности переноса энергии между квантовыми точками разных размеров. Наряду с вкладом в матричный элемент от прямого кулоновского переноса энергии между квантовыми точками, был вычислен вклад от механизма обменного переноса. Получено аналитическое выражение для матричного элемента обменного взаимодействия между квантовыми точками одинакового радиуса $R_D = R_A$ с волновой функцией тяжелых дырок ψ_{h1} и волновой функцией электронов, не учитывающей подмешивание s - и p -состояний. Показано, что для обменного взаимодействия скорость переноса энергии зависит от расстояния d между центрами КТ по степенному закону $1/d^4$ при малых расстояниях и приобретает экспоненциальный характер с увеличением d . Следовательно, для количественного описания процесса безызлучательного переноса энергии обменный вклад должен приниматься во внимание.

6. ЗАКЛЮЧЕНИЕ

В работе в рамках модели Кейна выполнен микроскопический анализ механизмов переноса энергии между сферическими квантовыми точками (донором и акцептором). Показано, что учет подмешивания p -состояний к s -состояниям зоны проводимости приводит к дополнительным вкладам в скорость

переноса энергии в сравнении с теми, которые были получены при использовании других теоретических подходов [18–21]. Получены выражения для матричных элементов переноса энергии вследствие прямого кулоновского взаимодействия электронов донора и акцептора как для дипольно-разрешенных, так и для дипольно-запрещенных межзонных переходов в доноре и акцепторе. Численные расчеты были выполнены для донора и акцептора как с равными радиусами, так и с разными. Показано, что наибольшим вкладом в скорость переноса энергии является вклад основного перехода в доноре и акцепторе. В работе выполнен также анализ скорости переноса энергии вследствие обменного взаимодействия электронов донора и акцептора. Численный расчет показал, что при малых расстояниях между донором и акцептором вклад обменного взаимодействия в скорость переноса энергии того же порядка, что наибольший вклад подмешивания состояний. Следовательно, он тоже должен приниматься во внимание при количественном описании процесса переноса энергии.

Безызлучательный перенос энергии между донором и акцептором энергии, конъюгированными с биомолекулами, широко используется в медицинских и биологических экспериментах. Применение полупроводниковых квантовых точек в качестве как донора, так и акцептора увеличило возможности экспериментов [22]. Высокая чувствительность скорости переноса к изменению расстояния между донором и акцептором энергии позволяет детектировать образование комплексов антиген-антитело, энзим-субстрат, гибридизацию ДНК, а также изучать структуру и динамику биомолекул, где необходимы измерения малых расстояний в пределах одной молекулы [22, 52–54]. Данные таких исследований имеют большое значение для диагностики и терапии ряда заболеваний, в том числе онкологических [55], см. также литературу в работе [22]. Развитие адекватной теории переноса энергии, учитывающей как прямое кулоновское взаимодействие электронов донора и акцептора, так и их обменное взаимодействие, необходимо для корректной интерпретации экспериментальных данных.

Работа выполнена при частичной финансовой поддержке РФФИ (грант № 14-02-01223) и в рамках программы поддержки ведущих научных школ (НШ-5062.2014.2).

ПРИЛОЖЕНИЕ А

Интеграл в выражении $M_{ad}^{(1)}$ (55) имеет вид

$$\begin{aligned}
 I_{ad}^{(1)} = & \frac{1}{\sqrt{(2j_{cD}+1)(2j_{hD}+1)}} \frac{1}{\sqrt{(2j_{cA}+1)(2j_{hA}+1)}} \times \\
 & \times \sum_{l_1=0}^{\infty} \sum_{l_2=0}^{\infty} \frac{\Gamma\left(\frac{l_1+l_2+1}{2}\right)}{\Gamma\left(l_1+\frac{3}{2}\right) \Gamma\left(l_2+\frac{3}{2}\right) \Gamma\left(1-\frac{l_1+l_2}{2}\right)} \times \\
 & \times \int_0^{R_D} r_1^2 dr_1 \sum_{\mu_1=-1}^1 (i)^{l_1} (2l_1+1) \times \\
 & \times \left\{ \sqrt{(j_{cD}+1)(2j_{cD}+3)} j_{j_{cD}+1}(k_{cD}r_1) j_{j_{hD}}(k_{hD}r_1) \times \right. \\
 & \times C_{j_{cD}+1, m_{cD}+1, \mu_1, 1, -\mu_1}^{j_{cD}, m_{cD}} C_{j_{hD}, -m_{hD}-\mu_1, 1, \mu_1}^{j_{hD}, -m_{hD}} \times \\
 & \times C_{j_{cD}+1, 0, l_1, 0}^{j_{cD}, 0} C_{j_{cD}+1, m_{cD}+\mu_1, l_1, 0}^{j_{cD}, m_{cD}+\mu_1} + \\
 & + \sqrt{j_{cD}(2j_{cD}-1)} j_{j_{cD}-1}(k_{cD}r_1) j_{j_{hD}}(k_{hD}r_1) \Big\} \times \\
 & \times \int_0^{R_A} r_2^2 dr_2 \sum_{\mu_2=-1}^1 (-i)^{l_2} (2l_2+1) \times \\
 & \times \left\{ \sqrt{(j_{cA}+1)(2j_{cA}+3)} j_{j_{cA}+1}(k_{cA}r_2) j_{j_{hA}}(k_{hA}r_2) \times \right. \\
 & \times C_{j_{cA}+1, m_{cA}+1, \mu_2, 1, -\mu_2}^{j_{cA}, m_{cA}} C_{j_{hA}, -m_{hA}-\mu_2, 1, \mu_2}^{j_{hA}, -m_{hA}} \times \\
 & \times C_{j_{cA}+1, 0, l_2, 0}^{j_{cA}, 0} C_{j_{cA}+1, m_{cA}+\mu_2, l_2, 0}^{j_{cA}, m_{cA}+\mu_2} + \\
 & + \sqrt{j_{cA}(2j_{cA}-1)} j_{j_{cA}}(k_{cA}r_2) j_{j_{hA}}(k_{hA}r_2) \times \\
 & \times C_{j_{cA}-1, m_{cA}+\mu_2, 1, -\mu_2}^{j_{cA}, m_{cA}} C_{j_{hA}, -m_{hA}-\mu_2, 1, \mu_2}^{j_{hA}, -m_{hA}} \times \\
 & \times C_{j_{cA}-1, 0, l_2, 0}^{j_{cA}, 0} C_{j_{cA}-1, m_{cA}+\mu_2, l_2, 0}^{j_{cA}, m_{cA}+\mu_2} \Big\} \times \\
 & \times \left(\frac{r_1}{d} \right)^{l_1} \left(\frac{r_2}{d} \right)^{l_2} F_4 \left(\frac{l_1+l_2}{2}, \frac{l_1+l_2+1}{2}; \right. \\
 & \left. l_1 + \frac{3}{2}, l_2 + \frac{3}{2}; \left(\frac{r_1}{d} \right)^2, \left(\frac{r_2}{d} \right)^2 \right). \quad (94)
 \end{aligned}$$

Интеграл, связанный с перекрестным членом, имеет вид

$$\begin{aligned}
I_{ad}^{(2)} = & i \sqrt{\frac{2j_{cA}+1}{2j_{hA}+1}} \frac{1}{\sqrt{(2j_{cD}+1)(2j_{hD}+1)}} \times \\
& \times \int_0^{R_D} dr_1 r_1^2 \sum_{\mu=-1}^1 \sum_{l_1=1}^{\infty} (i)^{l_1} (2l_1+1) \times \\
& \times \left\{ \sqrt{(j_{cD}+1)(2j_{cD}+3)} j_{j_{cD}+1} (k_{cD}r_1) j_{j_{hD}} (k_{hD}r_1) \right. \times \\
& \times C_{j_{cD}+1, m_{cD}+\mu, 1, -\mu}^{j_{cD}, m_{cD}} C_{j_{hD}, -m_{hD}-\mu, 1, \mu}^{j_{hD}, -m_{hD}} \times \\
& \times C_{j_{cD}+1, 0, l_1, 0}^{j_{cD}, 0} C_{j_{cD}+1, m_{cD}+\mu, l_1, 0}^{j_{cD}, m_{cD}+\mu} + \\
& + \sqrt{j_{cD}(2j_{cD}-1)} j_{j_{cD}-1} (k_{cD}r_1) j_{j_{hD}} (k_{hD}r_1) \times \\
& \times C_{j_{cD}-1, m_{cD}+\mu, 1, -\mu}^{j_{cD}, m_{cD}} C_{j_{hD}, -m_{hD}-\mu, 1, \mu}^{j_{hD}, -m_{hD}} \times \\
& \times C_{j_{cD}-1, 0, l_1, 0}^{j_{cD}, 0} C_{j_{cD}-1, m_{cD}+\mu, l_1, 0}^{j_{cD}, m_{cD}+\mu} \Big\} \times \\
& \times \int_0^{R_A} dr_2 r_2^2 j_{j_{hA}} (k_{hA}r_2) j_{j_{cA}} (k_{cA}r_2) \times \\
& \times \sum_{l_2=0}^{\infty} (-i)^{l_2} (2l_2+1) C_{j_{hA}, -m_{hA}, 1, 0}^{j_{hA}, -m_{hA}} C_{j_{cA}, 0, l_2, 0}^{j_{cA}, 0} \times \\
& \times C_{j_{cA}, m_{cA}, l_2, 0}^{j_{cA}, m_{cA}} \left(\frac{r_1}{d}\right)^{l_1} \left(\frac{r_2}{d}\right)^{l_2} \times \\
& \times \frac{\Gamma\left(\frac{l_1+l_2+3}{2}\right)}{\Gamma\left(l_1+\frac{3}{2}\right)\Gamma\left(l_2+\frac{3}{2}\right)\Gamma\left(1-\frac{l_1+l_2}{2}\right)} \times \\
& \times F_4\left(\frac{l_1+l_2}{2}, \frac{l_1+l_2+3}{2}; l_1+\frac{3}{2}, \right. \\
& \left. l_2+\frac{3}{2}; \left(\frac{r_1}{d}\right)^2, \left(\frac{r_2}{d}\right)^2\right). \quad (95)
\end{aligned}$$

ПРИЛОЖЕНИЕ В

Интеграл перекрытия имеет вид

$$\begin{aligned}
J_1 = & \int_0^{R_A} \phi_{csD}(d-z'_1) \phi_{csA}^*(z'_1) dz'_1 \times \\
& \times \left[\int_0^{z'_1} \phi_{hD}(d-z_2) \phi_{hA}(z_2) P_1(\eta_1) dz_2 + \right. \\
& + \int_{z'_1}^{R_A} \phi_{hD}^*(d-z_2) \phi_{hA}(z_2) P_2(\eta_2) dz_2 + \\
& + \int_{R_A}^{d-R_D} \phi_{hD}^*(d-z_2) \phi_{hA}(z_2) P_2(\eta_2) dz_2 + \\
& \left. + \int_{d-R_D}^d \phi_{hD}^*(d-z_2) \phi_{hA}(z_2) P_2(\eta_2) dz_2 \right]. \quad (96)
\end{aligned}$$

Подобные выражения могут быть выписаны для J_2 и J_3 . В радиальных частях волновых функций (62) перейдем к цилиндрическим функциям, полагая в дальнейшем $k_{hD} = k_{hA} = k$, и введем новые переменные интегрирования $y = kz_2$ и $x = kz'_1$. В результате получим следующее выражение для J_1 :

$$\begin{aligned}
J_1 = & A_{cDA}^* A_{cA}^* A_{hD}^* A_{hA} \left(\frac{\pi}{2k}\right)^2 \times \\
& \times \frac{J_{j_{cD}+1/2}(kR_D)}{J_{j_{cD}+1/2}(k(d-R_A))} \frac{K_{j_{cD}+1/2}(\kappa(d-R_A))}{K_{j_{cD}+1/2}(\kappa R_D)} \times \\
& \times \int_0^{kR_A} \frac{1}{\sqrt{x(kd-x)}} J_{j_{cD}+1/2}(kd-x) J_{j_{cA}+1/2}(x) dx \times \\
& \times \left\{ \frac{J_{j_{cD}+1/2}(kR_D)}{J_{j_{cD}+1/2}(k(d-R_A))} \frac{K_{j_{cD}+1/2}(\kappa(d-R_A))}{K_{j_{cD}+1/2}(\kappa R_D)} \times \right. \\
& \times \left[\int_0^x \frac{1}{\sqrt{y(kd-y)}} J_{j_{hD}+1/2}(kd-y) J_{j_{hA}+1/2}(y) \times \right. \\
& \times \left(P(\eta_1^2) - \frac{x-y}{2k\rho_{max}} \right) dy + \\
& + \int_x^{kR_A} \frac{1}{\sqrt{y(kd-y)}} J_{j_{hD}+1/2}(kd-y) J_{j_{hA}+1/2}(y) \times \\
& \times \left. \left(P(\eta_2^2) - \frac{y-x}{2k\rho_{max}} \right) dy \right] + \\
& + \frac{J_{j_{hA}+1/2}(kR_A)}{J_{j_{hA}+1/2}(k(d-y))} \frac{K_{j_{hA}+1/2}(\kappa_{hA}(d-R_D))}{K_{j_{hA}+1/2}(\kappa_{hA}R_A)} \times
\end{aligned}$$

$$\times \int_{k(d-R_D)}^{kd} \frac{1}{\sqrt{y(kd-y)}} J_{j_{hD}+1/2}(kd-y) J_{j_{hA}+1/2}(y) \times \\ \times \left(P(\eta_2^2) - \frac{y-x}{2k\rho_{max}} \right) dy \}. \quad (97)$$

Учет граничных условий приводит это выражение к виду

$$J_1 = A_{cD} A_{cA}^* A_{hD}^* A_{hA} \left(\frac{\pi}{2k} \right)^2 \frac{J_{j_{cD}+1/2}(kR_D)}{J_{j_{cD}+1/2}(k(d-R_A))} \times \\ \times \exp(-\kappa_{cD}(d-R_A-R_D)) \sqrt{\frac{R_D}{d-R_A}} \times \\ \times \int_0^{kR_A} \frac{1}{\sqrt{x(kd-x)}} J_{j_{cD}+1/2}(kd-x) J_{j_{cA}+1/2}(x) dx \times \\ \times \left\{ \frac{J_{j_{hD}+1/2}(kR_D)}{J_{j_{hD}+1/2}(k(d-R_A))} \exp(-\kappa_{hD}(d-R_A-R_D)) \times \right. \\ \times \sqrt{\frac{R_D}{d-R_A}} \left[\int_0^x \frac{1}{\sqrt{y(kd-y)}} J_{j_{hD}+1/2}(kd-y) \times \right. \\ \times J_{j_{hA}+1/2}(y) \left(P(\eta_1^2) - \frac{x-y}{2k\rho_{max}} \right) dy + \\ \left. + \int_x^{kR_A} \frac{1}{\sqrt{y(kd-y)}} J_{j_{hD}+1/2}(kd-y) J_{j_{hA}+1/2}(y) \times \right. \\ \times \left. \left(P(\eta_2^2) - \frac{y-x}{2k\rho_{max}} \right) dy \right] + \frac{J_{j_{hA}+1/2}(kR_A)}{J_{j_{hA}+1/2}(k(d-R_D))} \times \\ \times \exp(-\kappa_{hA}(d-R_A-R_D)) \sqrt{\frac{R_A}{d-R_D}} \times \\ \times \int_{k(d-R_D)}^{kd} \frac{1}{\sqrt{y(kd-y)}} J_{j_{hD}+1/2}(kd-y) J_{j_{hA}+1/2}(y) \times \\ \times \left. \left(P(\eta_2^2) - \frac{y-x}{2k\rho_{max}} \right) dy \right\}. \quad (98)$$

Величина J_1 может быть рассмотрена для переходов в доноре и акцепторе между уровнями с определенными значениями полных угловых моментов. Рассмотрим переходы, соответствующие $j_{cD} = j_{hD} = 1$ и $j_{cA} = j_{hA} = 1$. Для этого подставим в J_1 явные выражения для функций Бесселя:

$$J_{3/2}(kd-y) = \sqrt{\frac{2}{\pi(kd-y)}} \times \\ \times \left(\frac{\sin(kd-y)}{kd-y} - \cos(kd-y) \right), \quad (99)$$

$$J_{3/2}(y) = \sqrt{\frac{2}{\pi y}} \left(\frac{\sin(y)}{y} - \cos(y) \right).$$

Тогда получим

$$J_1 = A_{cD} A_{cA}^* A_{hD}^* A_{hA} \frac{\pi}{2} \frac{1}{k^2} \frac{J_{3/2}(kR)}{J_{3/2}(k(d-R))} \times \\ \times \exp(-\kappa_{cD}(d-2R)) \sqrt{\frac{R}{d-R}} \times \\ \times \int_0^{kR} \frac{1}{x(kd-x)} \left(\frac{\sin(kd-x)}{kd-x} - \cos(kd-x) \right) \times \\ \times \left(\frac{\sin(x)}{x} - \cos(x) \right) dx \times \\ \times \left\{ \frac{J_{3/2}(kR)}{J_{3/2}(k(d-R))} \exp(-\kappa_{hD}(d-2R)) \sqrt{\frac{R}{d-R}} \times \right. \\ \times \left[\int_0^x \frac{1}{y(kd-y)} \left(\frac{\sin(kd-y)}{kd-y} - \cos(kd-y) \right) \times \right. \\ \times \left. \left(\frac{\sin y}{y} - \cos y \right) \left(P(\eta_1^2) - \frac{x-y}{2k\rho_{max}} \right) dy + \right. \\ \left. + \int_x^{kR} \frac{1}{y(kd-y)} \left(\frac{\sin(kd-y)}{kd-y} - \cos(kd-y) \right) \times \right. \\ \times \left. \left(\frac{\sin y}{y} - \cos y \right) \left(P(\eta_2^2) - \frac{y-x}{2k\rho_{max}} \right) dy \right] + \\ \left. + \frac{J_{3/2}(kR)}{J_{3/2}(k(d-R))} \exp(-\kappa_{hA}(d-2R)) \frac{R}{d-R} \times \right. \\ \times \left[\int_{k(d-R)}^d \frac{1}{y(kd-y)} \left(\frac{\sin(kd-y)}{kd-y} - \cos(kd-y) \right) \times \right. \\ \times \left. \left(\frac{\sin y}{y} - \cos y \right) \left(P(\eta_2^2) - \frac{y-x}{2k\rho_{max}} \right) dy \right]. \quad (100)$$

В интегралы в J_1 входит функция $(kd-y)^{-1}$. Вынося множитель kd за скобки и разлагая в степенной ряд дробь

$$\left(1 - \frac{y}{kd} \right)^{-1} = \sum_{n=0}^{\infty} \left(\frac{y}{kd} \right)^n,$$

получим

$$\begin{aligned}
J_1 = & A_{cD} A_{eA}^* A_{hD}^* A_{hA} \frac{\pi}{2} \frac{1}{k^2} \frac{J_{3/2}(kR)}{J_{3/2}(k(d-R))} \times \\
& \times \exp(-\kappa_{cD}(d-2R)) \sqrt{\frac{R}{d-R}} \frac{1}{(kd)^2} \times \\
& \times \int_0^{kR} \frac{1}{x} \sum_{n=0}^{\infty} \left(\frac{x}{kd}\right)^n \left(\frac{\sin(kd-x)}{kd-x} - \cos(kd-x)\right) \times \\
& \times \left(\frac{\sin x}{x} - \cos x\right) dx \times \\
& \times \left\{ \frac{J_{3/2}(kR)}{J_{3/2}(k(d-R))} \exp(-\kappa_{hD}(d-2R)) \sqrt{\frac{R}{d-R}} \times \right. \\
& \times \left[\int_0^x \frac{1}{y} \sum_{n=0}^{\infty} \left(\frac{y}{kd}\right)^n \left(\frac{\sin(kd-y)}{kd-y} - \cos(kd-y)\right) \times \right. \\
& \times \left(\frac{\sin y}{y} - \cos y\right) \left(P(\eta_1^2) - \frac{x-y}{2k\rho_{max}}\right) dy + \\
& + \int_x^{kR} \frac{1}{y} \sum_{n=0}^{\infty} \left(\frac{y}{kd}\right)^n \left(\frac{\sin(kd-y)}{kd-y} - \cos(kd-y)\right) \times \\
& \times \left(\frac{\sin y}{y} - \cos y\right) \left(P(\eta_2^2) - \frac{y-x}{2k\rho_{max}}\right) dy \Big] + \\
& + \frac{J_{3/2}(kR)}{J_{3/2}(k(d-R))} \exp(-\kappa_{hA}(d-2R)) \frac{R}{d-R} \times \\
& \times \left. \int_{k(d-R)}^d \frac{1}{y} \sum_{n=0}^{\infty} \left(\frac{y}{kd}\right)^n \left(\frac{\sin(kd-y)}{kd-y} - \cos(kd-y)\right) \times \right. \\
& \times \left(\frac{\sin y}{y} - \cos y\right) \left(P(\eta_2^2) - \frac{y-x}{2k\rho_{max}}\right) dy \Big\}. \quad (101)
\end{aligned}$$

Вычисления показывают, что функции $P(\eta_1^2)$ и $P(\eta_2^2)$ принимают практически постоянные значения в областях изменения аргументов. Получившиеся интегралы берутся в виде сходящихся рядов по степеням $(kd)^{-n}$.

ЛИТЕРАТУРА

1. В. М. Агранович, М. Д. Галанин, *Перенос энергии электронного возбуждения в конденсированных средах*, Наука, Москва (1978).
2. D. Basko, G. C. La Rossa, F. Bassani, and V. M. Agranovich, Eur. Phys. J. B **8**, 353 (1999).
3. Th. Forster, Ann. Phys. **437**, 55 (1948).
4. D. L. Dexter, J. Chem. Phys. **21**, 836 (1953).
5. R. S. Mulliken, J. Amer. Chem. Soc. **72**, 600 (1950).
6. G. Cario and J. Frank, Z. Physik **17**, 202 (1923).
7. А. Н. Теренин, А. В. Каракин, Изв. АН СССР, сер. физ. **15**, 550 (1951).
8. J. Perrin and C. R. Choucroun, Hebd. Acad. Sci. Seances **189**, 1213 (1929).
9. Th. Forster, Z. Electrochem. **53**, 93 (1949).
10. М. Д. Галанин, В. Л. Левшин, ЖЭТФ **21**, 121 (1951).
11. А. Н. Теренин, В. Л. Ермолаев, ДАН СССР **85**, 547 (1952).
12. R. Emerson and W. Arnold, J. Gen. Physiol. **16**, 191 (1932).
13. G. D. Scholes, Ann. Rev. Phys. Chem. **54**, 57 (2003).
14. T. Ha, Th. Enderle, D. F. Ogletree, D. S. Chemla, P. R. Selvin, and S. Weiss, Proc. Natl. Acad. Sci. USA, Biophysics **93**, 6264 (1996).
15. M. Wen-Pin Kao, Li-Ling Yang, J. Chih-Kai Lin, Tsong-Shin Lim, W. Fann, and R. P.-Y. Chen, Bioconjugate Chem. **19**, 1124 (2008).
16. C. R. Kagan, C. B. Murray, M. Nirmal, and M. J. Bawendi, Phys. Rev. Lett. **76**, 1517 (1996).
17. A. R. Clapp, I. L. Medinz, and H. Mattossi, Chem. Phys. Chem. **7**, 47 (2006).
18. C. Delerue and G. Allan, Phys. Rev. B **75**, 195311 (2007).
19. C. Curutchet, A. Franceschetti, A. Zunger et al., J. Phys. Chem. C **112**, 13336 (2008).
20. R. Baer and E. Rabani, J. Chem. Phys. **128**, 184710 (2008).
21. S. Yu. Kruchinin, A. V. Fedorov, A. N. Baranov, S. Petrova, and K. Berwick, Phys. Rev. B **78**, 125311 (2008).
22. V. F. Franso and N. Chaniotakis, Semiconductors Quantum Dots in Chemical Sensors and Biosensors **9**, 7266 (2009).
23. G. D. Scholes and D. L. Andrews, Phys. Rev. B **72**, 125331 (2005).
24. B. W. Lovett, J. H. Reina, A. Nazir, and A. D. Breggs, Phys. Rev. B **68**, 205319 (2003).
25. S. Noda, Science **314**, 260 (2006).
26. R. Heitz, I. Mukhamedov, J. Zeng, P. Chen, A. Madhukar, and D. Bimberg, Superlattices Microstruct. **25**, 97 (1999).

27. M. Law, J. M. Luther, O. Song, B. R. Hughes, C. L. Perkins, and A. J. Nozik, *J. Amer. Chem. Soc.* **130**, 5974 (2008).
28. V. M. Agranovich, G. C. La Rossa, and F. Bassani, *Письма в ЖЭТФ* **66**, 714 (1997).
29. В. М. Агранович, Д. М. Баско, *Письма в ЖЭТФ* **69**, 232 (1999).
30. D. Basko, G. C. La Rossa, F. Bassani, and V. M. Agranovich, *Eur. Phys. J. B* **8**, 353 (1999).
31. D. M. Basko, V. M. Agranovich, F. Bassani, and G. C. La Rossa, *Eur. Phys. J. B* **13**, 653 (2000).
32. V. M. Agranovich, Yu. N. Gardstein, and M. Litinskaya, *J. Chem. Rev.* **111**, 5179 (2011).
33. V. M. Agranovich, D. M. Basko, and G. C. La Rossa, *Phys. Rev. B* **86**, 165204 (2012).
34. Г. Г. Зегря, А. С. Полковников, *ЖЭТФ* **113**, 1491 (1998).
35. E. O. Kane, *J. Phys. Chem. Sol.* **1**, 249 (1957).
36. Д. М. Самосват, Г. Г. Зегря, *ЖЭТФ* **131**, 1090 (2007).
37. А. И. Ансельм, *Введение в теорию полупроводников*, Наука, Москва (1978).
38. Д. А. Варшалович, А. Н. Москалев, В. К. Херсонский, *Квантовая теория углового момента*, Наука, Москва (1975).
39. А. П. Прудников, Ю. А. Брычков, О. И. Маричев, *Интегралы и ряды. Т. 3. Специальные функции. Дополнительные главы*, Наука, Москва (2003).
40. Г. Бейтмен, А. Эрдэйи, *Высшие трансцендентные функции*, Т. 1, пер. Н. Я. Виленкина, Наука, Москва (1973).
41. Л. Д. Ландау, Е. М. Лифшиц, *Квантовая механика (нерелятивистская теория)*, Наука, Москва (2001).
42. М. Борн, *Атомная физика*, Мир, Москва (1967).
43. А. И. Базъ, А. Б. Зельдович, А. М. Переломов, *Рассеяние, реакции и распады в нерелятивистской квантовой механике*, Наука, Москва (1966).
44. Д. М. Самосват, В. П. Евтихиев, А. С. Школьник, Г. Г. Зегря, *ФТП* **47**, 24 (2013).
45. G. Wang, S. Fafard, D. Leonard, J. E. Bowers, J. L. Merz, and P. M. Petroff, *Appl. Phys. Lett.* **64**, 2815 (1994).
46. Л. В. Асяян, Р. А. Сурис, *ФТП* **38**, 1 (2004).
47. В. Л. Ермолаев, Е. Н. Бодунов, Е. Б. Свешникова, Т. А. Шахвердов, *Безызлучательный перенос энергии электронного возбуждения*, Наука, Ленинград (1977).
48. Е. Н. Бодунов, В. Л. Шехтман, *ФТТ* **12**, 2809 (1970).
49. Р. Пантел, Г. Путхоф, *Основы квантовой электроники*, Мир, Москва (1972).
50. В. П. Конышев, А. И. Бурштейн, *Теор. и эксп. химия* **4**, 192 (1968).
51. Е. Б. Догонкин, Г. Г. Зегря, А. С. Полковников, *ЖЭТФ* **117**, 429 (2000).
52. Yabing Li, Qiang Ma, Xinyan Wang, and Xingguang Su, *Luminescence* **22**, 60 (2006).
53. Xin-Yan Wang, Qiang Ma, Ya-Bing Li, Bing Li, Xing-Guang Su, and Qin-Han Jin, *Canadian J. Anal. Sci. Spectr.* **50**, 141 (2005).
54. U. Schobel, H. J. Egelhaaf, A. Brecht, D. Oelkrug, and G. Gauglitz, *Bioconjugate Chem.* **10**, 1107 (1999).
55. Tian-Cai Liu, Hai-Li Zhang, and Jian-Hao Wang, *Anal. Bioanal. Chem.* **391**, 2819 (2008).